

MAWSON'S TOCHTERGESELLSCHAFT SXG MELDET NEUN LÖCHER AUS SUNDAY CREEK

Vier > 100 g/t AuEq x Meter (kumulativ)

Nachweis von Kontinuität und Vorhersehbarkeit. Entdeckung neuer Adern.

Vancouver, Kanada - **Mawson Gold Limited** ("Mawson" oder das "Unternehmen") (TSXV:MAW) (Frankfurt:MXR) (PINKSHEETS: MWSNF) - <https://www.commodity-tv.com/ondemand/companies/profil/mawson-gold-ltd/> - gibt bekannt, dass Southern Cross Gold Ltd. ("Southern Cross Gold" oder "SXG") hat neun Bohrlöcher (SDDSC094A, 96, 98-104) aus dem Gebiet Rising Sun auf dem zu 100 % unternehmenseigenen Projekt Sunday Creek in Victoria, Australien, veröffentlicht (Abbildungen 1, 4 und 5).

Höhepunkte:

- Veröffentlichung von Daten aus neun Bohrlöchern (SDDSC094A, 96, 98-104), die das Vertrauen weiter erhöhen und die Kontinuität bis zu den oberflächennahen Ebenen im Gebiet Rising Sun belegen. Insbesondere enthalten die neun gemeldeten Bohrlöcher kumulative Abschnitte von mehr als 100 g/t AuEq x Meter im Bohrloch.
 - SDDSC094A wurde durch die obere Zone von Rising Sun gebohrt, von der Position der hängenden Wand aus und in einem hohen Winkel zu den mineralisierten Adersätzen. Das Bohrloch durchquerte vier hochgradige Adersätze (Abbildungen 1 und 2), darunter auch die Entdeckung eines neuen Adersatzes. Ausgewählte Highlights beinhalten:
 - **2,0 m @ 5,6 g/t AuEq** (5,5 g/t Au, 0,1% Sb) aus 144,0 m
 - **38,2 m @ 3,5 g/t AuEq¹** (2,5 g/t Au, 0,6 % Sb) aus 152,0 m, einschließlich:
 - **1,0 m @ 12,3 g/t AuEq** (11,3 g/t Au, 0,6 % Sb) aus 161,0 m
 - **2,1 m @ 20,4 g/t AuEq** (19,6 g/t Au, 0,5% Sb) aus 167,9 m
 - **7,4 m @ 7,0 g/t AuEq** (3,1 g/t Au, 2,4% Sb) aus 179,0 m (Ader RS10, siehe Abbildung 3)
 - **2,0 m @ 18,4 g/t AuEq** (6,7 g/t Au, 7,4% Sb) aus 184,4 m
 - **1,3 m @ 22,1 g/t AuEq** (13,0 g/t Au, 5,8% Sb) aus 277,3 m (neue Aderentdeckung)
 - **2,6 m @ 10,1 g/t AuEq** (9,3 g/t Au, 0,5% Sb) aus 338,2 m
- SDDSC098 wurde 25 m bis 60 m unterhalb von SDDSC094 gebohrt und durchquerte ebenfalls **vier hochgradige Adersätze**, zu denen auch die Highlights gehören:
- **0,7 m @ 26,9 g/t AuEq** (17,9 g/t Au, 5,7 % Sb) aus 125,3 m
 - **2,1 m @ 7,2 g/t AuEq** (3,9 g/t Au, 2,1% Sb) aus 132,8 m
 - **8,1 m @ 4,7 g/t AuEq** (1,8 g/t Au, 1,8 % Sb) aus 147,1 m
 - **3,8 m @ 5,9 g/t AuEq** (3,9 g/t Au, 1,3 % Sb) aus 162,5 m
 - **0,7 m @ 20,2 g/t AuEq** (20,1 g/t Au, 0,0% Sb) aus 187,3 m

HIGHLIGHTS (Forts.)

-SDDSC100 durchteufte **elf Adersätze auf 430 vertikalen Metern**. Sie wurde durch die untere Zone von Rising Sun gebohrt und liegt 90 m bzw. 70 m neigungsaufwärts und neigungsabwärts von hochgradigen Abschnitten innerhalb von SDDSC082 und SDDSC077B (Abbildung 3). Zu den Highlights gehören:

- **2,0 m @ 9,3 g/t AuEq** (7,7 g/t Au, 1,1% Sb) aus 453,0 m
- **1,9 m @ 19,5 g/t AuEq** (16,8 g/t Au, 1,7 % Sb) aus 469,0 m
- **1,4 m @ 26,6 g/t AuEq** (22,8 g/t Au, 2,4% Sb) aus 469,5 m
- **2,1 m @ 15,3 g/t AuEq** (7,5 g/t Au, 4,9% Sb) aus 487,4 m (Ader RS10, siehe Abbildung 3)
- **1,4 m @ 20,9 g/t AuEq** (20,5 g/t Au, 0,2 % Sb) aus 507,6 m
- **4,4 m @ 5,3 g/t AuEq** (4,9 g/t Au, 0,3% Sb) aus 737,3 m
- **3,6 m @ 4,8 g/t AuEq** (4,8 g/t Au, 0,0% Sb) aus 849,6 m

- **SDDSC104** wurde vom südlichen Rand der Wirtssequenz aus gebohrt und durchteufte die Wirtssequenz im unteren Teil des Bohrlochs sowie **vier mineralisierte Adersätze**. Zu den Highlights gehören:

- **17,7 m @ 3,8 g/t AuEq** (2,3 g/t Au, 0,9% Sb) aus 438,0 m
- Mawson besitzt 93.750.000 Aktien von SXG (51 %), was einem Wert von 107,3 Mio. A\$ (93,8 Mio. C\$) entspricht, basierend auf dem Schlusskurs von SXG am 8. Februar 2024 AEST.

Michael Hudson, Interim-CEO und Executive Chairman von Mawson, erklärt: *"Diese Bohrungen liefern die entscheidenden Elemente, um einen mineralisierten Körper auszubohren, da wir weiterhin die Kontinuität und Vorhersagbarkeit der Gold-Antimon-Mineralisierung nachweisen. Die als Bohrfächer angelegten Bohrungen, die im oberen Bereich von Rising Sun beginnen und sich in die Tiefe erstrecken, füllen große Lücken in Richtung der Auf- und Abwärtsneigung und testen die Streicherweiterung der mineralisierten Adersätze. Sie erhöhen unser Vertrauen in das geologische Modell und zeigen die Kontinuität, die den Variationskoeffizienten von <2,0 unserer Untersuchungsdaten innerhalb der modellierten Adern unterstützt, den unsere Geostatistik liefert."*

Diskussion über Bohrlöcher

Die gemeldeten Löcher können in zwei Bereiche unterteilt werden: Rising Sun Upper und Rising Sun Lower.

Rising Sun Upper

SDDSC094A (kumulative **199 g/t AuEq x m @ 2 m @ 1g/t AuEq** unterer Schnitt) und **SDDSC098** (kumulative **134 g/t AuEq x m**) zeigten eine Kontinuität der hohen Gehalte bis nahe der Oberfläche (ab 70 m vertikal unter der Oberfläche).

Die beiden Bohrlöcher durchschnitten jeweils **vier mineralisierte Adersätze**, die wichtige Infill-Punkte lieferten und bei der Definition **eines neuen Adersatzes** bei Rising Sun mit dem Namen RS35 (**1,3 m @ 22,1 g/t AuEq** (13,0 g/t Au, 5,8 % Sb) aus 277,3 m in SDDSC094A und 1,5 m @ 1,1 g/t AuEq (1,1 g/t Au, 0,0 % Sb) aus 241,1 m in SDDSC098) helfen.

Zu den Highlights für **SDDSC094A** gehören:

- **2,0 m @ 5,6 g/t AuEq** (5,5 g/t Au, 0,1% Sb) aus 144,0 m
- **38,2 m @ 3,5 g/t AuEq¹** (2,5 g/t Au, 0,6 % Sb)¹ aus 152,0 m, einschließlich:
 - **1,0 m @ 12,3 g/t AuEq** (11,3 g/t Au, 0,6 % Sb) aus 161,0 m
 - **2,1 m @ 20,4 g/t AuEq** (19,6 g/t Au, 0,5% Sb) aus 167,9 m
 - **7,4 m @ 7,0 g/t AuEq** (3,1 g/t Au, 2,4% Sb) aus 179,0 m (Ader RS10, siehe Abbildung 3)

- **2,0 m @ 18,4 g/t AuEq** (6,7 g/t Au, 7,4% Sb) aus 184,4 m
- **1,3 m @ 22,1 g/t AuEq** (13,0 g/t Au, 5,8 % Sb) aus 277,3 m (neuer Adersatz), einschließlich:
 - **0,2 m @ 107,4 g/t AuEq** (59,2 g/t Au, 30,5% Sb) aus 277,9 m
- **2,6 m @ 10,1 g/t AuEq** (9,3 g/t Au, 0,5% Sb) aus 338,2 m, einschließlich:
 - **1,1 m @ 22,2 g/t AuEq** (20,3 g/t Au, 1,2 % Sb) aus 338,2 m

Zu den Höhepunkten des SDDSC098 gehören:

- **0,7 m @ 26,9 g/t AuEq** (17,9 g/t Au, 5,7 % Sb) aus 125,3 m, einschließlich:
 - **0,3 m @ 57,0 g/t AuEq** (37,7 g/t Au, 12,2 % Sb) aus 125,7 m
- **2,1 m @ 7,2 g/t AuEq** (3,9 g/t Au, 2,1% Sb) aus 132,8 m
- **8,1 m @ 4,7 g/t AuEq** (1,8 g/t Au, 1,8 % Sb) aus 147,1 m, einschließlich:
 - **1,2 m @ 11,5 g/t AuEq** (4,1 g/t Au, 4,7% Sb) aus 147,6 m
 - **0,8 m @ 15,7 g/t AuEq** (5,2 g/t Au, 6,7 % Sb) aus 150,5 m
 - **0,3 m @ 20,6 g/t AuEq** (3,0 g/t Au, 11,2 % Sb) aus 154,3 m
- **3,8 m @ 5,9 g/t AuEq** (3,9 g/t Au, 1,3 % Sb) aus 162,5 m, einschließlich:
 - **0,1m @ 135,3 g/t AuEq** (96,0 g/t Au, 24,9% Sb) aus 166,1 m
- **0,7 m @ 20,2 g/t AuEq** (20,1 g/t Au, 0,0% Sb) aus 187,3 m
- **5,5 m @ 1,3 g/t AuEq** (1,2 g/t Au, 0,0% Sb) aus 211,0 m

SDDSC096 (kumulative **13 g/t AuEq x m**) mit einem Highlight von **0,5 m @ 21,8 g/t AuEq** (21,8 g/t Au, 0,0 % Sb) aus 120,8 m und **SDDSC099** (kumulative **10 g/t AuEq x m**) wurden in einem zu großen Schnittwinkel durch den mineralisierten Wirtshorizont gebohrt und gingen daher zu schnell von der Hängewand in die Fußwand des mineralisierten Wirts über und blieben bis zum Ende des Bohrlochs im unveränderten Sediment (Abbildungen 1 und 2).

SDDSC101 und **SDDSC103** wurden 20 m bis 30 m nördlich des Wirtshorizonts gebohrt und enthielten keine Mineralisierung. Sie definieren die nördliche Mineralisierungsgrenze im westlichen Teil von Rising Sun Upper und liefern weitere strukturelle Informationen in der hängenden Wand (Abbildungen 1 und 2).

Rising Sun Lower

SDDSC100 (kumulative **236 g/t AuEq x m**) wurde durch die untere Zone von Rising Sun gebohrt und zeigt die Kontinuität zwischen den hochgradigen Abschnitten, die in SDDSC082 und 77B (veröffentlicht am 23. Oktober 2023 bzw. am 5. September 2023) abgegrenzt wurden, neigungsaufwärts und neigungsabwärts. Das Bohrloch wurde 80 m bis 180 m neigungsabwärts von SDDSC077B und 7 m bis 160 m neigungsaufwärts von SDDSC082 gebohrt (Abbildung 3) und liefert wichtige Infill-Punkte zur Bestätigung der Kontinuität von **elf Adersätzen über 430 vertikale Meter**:

- **1,0 m @ 6,7 g/t AuEq** (4,9 g/t Au, 1,1% Sb) aus 390,0 m
- **2,0 m @ 9,3 g/t AuEq** (7,7 g/t Au, 1,1% Sb) aus 453,0 m
- **1,9 m @ 19,5 g/t AuEq** (16,8 g/t Au, 1,7 % Sb) aus 469,0 m
- **2,1 m @ 15,3 g/t AuEq** (7,5 g/t Au, 4,9 % Sb) aus 487,4 m (Ader RS10, siehe Abbildung 3), einschließlich:
 - **0,2 m @ 30,8 g/t AuEq** (9,8 g/t Au, 13,3 % Sb) aus 487,4 m,
 - **0,2 m @ 120,7 g/t AuEq** (62,9 g/t Au, 36,6 % Sb) aus 489,3 m
- **1,4 m @ 20,9 g/t AuEq** (20,5 g/t Au, 0,2 % Sb) aus 507,6 m
- **4,4 m @ 5,3 g/t AuEq** (4,9 g/t Au, 0,3 % Sb) aus 737,3 m, einschließlich:
 - **0,4 m @ 54,8 g/t AuEq** (50,7 g/t Au, 2,6 % Sb) aus 739,4 m

- **4,0 m @ 2,5 g/t AuEq** (2,3 g/t Au, 0,1 % Sb) aus 779,0 m, einschließlich:
 - **1,0 m @ 6,8 g/t AuEq** (6,8 g/t Au, 0,0% Sb) aus 779,0 m
- **3,6 m @ 4,8 g/t AuEq** (4,8 g/t Au, 0,0 % Sb) aus 849,6 m, einschließlich:
 - **0,7 m @ 10,4 g/t AuEq** (10,4 g/t Au, 0,0% Sb) aus 850,3 m
 - **1,2 m @ 8,4 g/t AuEq** (8,4 g/t Au, 0,0% Sb) aus 852,0 m
- **0,3 m @ 45,2 g/t AuEq** (45,2 g/t Au, 0,0% Sb) aus 891,6 m
- **4,0 m @ 1,8 g/t AuEq** (1,7 g/t Au, 0,0% Sb) aus 911,0 m

SDDSC102 (kumulative **35 g/t AuEq x m**) und **SDDSC104** (kumulative **115 g/t AuEq x m**), die vom südlichen Rand der Wirtssequenz aus gebohrt wurden, durchschnitten in jedem Loch den unteren Teil des Wirts sowie fünf bzw. vier Adersätze.

Zu den Höhepunkten des **SDDSC102** gehörten:

- **5,6 m @ 2,1 g/t AuEq** (2,0 g/t Au, 0,1 % Sb) aus 419,3 m, einschließlich:
 - **0,6 m @ 15,4 g/t AuEq** (15,3 g/t Au, 0,0% Sb) aus 419,3 m
- **2,6 m @ 2,3 g/t AuEq** (2,2 g/t Au, 0,1% Sb) aus 478,4 m
- **0,2 m @ 18,1 g/t AuEq** (16,6 g/t Au, 1,0 % Sb) aus 495,0 m

Zu den Höhepunkten des **SDDSC104** gehörten:

- **4,6 m @ 1,5 g/t AuEq** (1,5 g/t Au, 0,0% Sb) aus 140,0 m
- **3,4 m @ 2,1 g/t AuEq** (1,0 g/t Au, 0,7% Sb) aus 431,7 m
- **17,7 m @ 3,8 g/t AuEq** (2,3 g/t Au, 0,9 % Sb) aus 438,0 m, einschließlich:
 - **2,6 m @ 13,0 g/t AuEq** (5,5 g/t Au, 4,7% Sb) aus 442,7 m
 - **0,4 m @ 27,2 g/t AuEq** (20,6 g/t Au, 4,2 % Sb) aus 454,9 m
- **4,9 m @ 2,2 g/t AuEq** (1,9 g/t Au, 0,2 % Sb) aus 462,0 m, einschließlich:
 - **0,3 m @ 28,5 g/t AuEq** (27,7 g/t Au, 0,5% Sb) aus 466,6 m
- **0,3 m @ 12,3 g/t AuEq** (12,3 g/t Au, 0,0% Sb) aus 471,3 m
- **0,4 m @ 14,1 g/t AuEq** (13,8 g/t Au, 0,2 % Sb) aus 486,1 m

Ausstehende Ergebnisse und Aktualisierung

Zehn Bohrlöcher (SDDSC0105 - 107, 108A, 109-112, 112W1, 114) werden derzeit bearbeitet und analysiert; drei Bohrlöcher (SDDSC113, 115A, 116) sind derzeit in Arbeit (Abbildungen 1-2). Southern Cross Gold hat erklärt, dass es bis April 2024 weitere 19.000 m bohren wird.

Weitere Informationen und Analysen zum Projekt Sunday Creek von Southern Cross Gold finden Sie auf der Website von SXG unter www.southerncrossgold.com.au.

Bei der Mittelwertbildung wird kein oberer Goldgrenzwert angewandt und die Abschnitte werden als Bohrmächtigkeit angegeben. Während zukünftiger Mineralressourcenstudien wird das Erfordernis eines oberen Abschneidens der Proben bewertet werden.

Die Abbildungen 1 bis 5 zeigen die Lage des Projekts sowie Grundriss-, Längs- und Querschnittsansichten der hier gemeldeten Bohrerergebnisse; die Tabellen 1 bis 3 enthalten die Daten der Bohrlöcher und der Proben. Die tatsächliche Mächtigkeit der gemeldeten mineralisierten Abschnitte wird auf etwa 50 % bis 60 % der Mächtigkeit der Proben anderer gemeldeter Bohrlöcher geschätzt. Niedrigere Gehalte wurden mit einem unteren Cutoff-Gehalt von 1,0 g/t Au über eine maximale Breite von 2 m und höhere Gehalte mit einem unteren Cutoff-Gehalt von 5,0 g/t Au über eine maximale Breite von 1 m geschnitten, sofern nicht anders angegeben¹ (0,3 g/t Au unterer Cutoff-Gehalt über eine maximale Breite von 3 m).

Technischer Hintergrund und qualifizierte Person

Die qualifizierte Person, Michael Hudson, Executive Chairman und Director von Mawson Gold sowie Fellow des Australasian Institute of Mining and Metallurgy, hat den technischen Inhalt dieser Pressemitteilung geprüft, verifiziert und genehmigt.

Die Analyseproben werden zur Einrichtung von On Site Laboratory Services ("On Site") in Bendigo transportiert, die sowohl nach ISO 9001 als auch nach dem NATA-Qualitätssystem arbeitet. Die Proben wurden aufbereitet und mit Hilfe der Brandprobe (PE01S-Methode; 25-Gramm-Charge) auf Gold analysiert, gefolgt von der Messung des Goldes in Lösung mit einem Flammen-AAS-Gerät. Die Proben für die Multi-Element-Analyse (BM011 und Over-Range-Methoden nach Bedarf) werden mit Königswasser aufgeschlossen und mit ICP-MS analysiert. Das QA/QC-Programm von Southern Cross Gold besteht aus dem systematischen Einsetzen von zertifizierten Standards mit bekanntem Goldgehalt, Leerproben innerhalb des interpretierten mineralisierten Gesteins und Viertelkernduplikaten. Darüber hinaus werden vor Ort Leerproben und Standards in den Analyseprozess eingefügt.

MAW ist der Ansicht, dass sowohl Gold als auch Antimon, die in der Goldäquivalentberechnung ("AuEq") enthalten sind, angesichts des aktuellen geochemischen Verständnisses, der historischen Produktionsstatistiken und der geologisch vergleichbaren Bergbaubetriebe ein angemessenes Potenzial für die Gewinnung von Sunday Creek haben. In der Vergangenheit wurde das Erz von Sunday Creek während des Ersten Weltkriegs vor Ort aufbereitet oder zur Costerfield-Mine, die 54 km nordwestlich des Projekts liegt, zur Aufbereitung transportiert. Der Costerfield-Minenkorridor, der sich nun im Besitz von Mandalay Resources Ltd. befindetet, enthält zwei Millionen Unzen Goldäquivalent (Mandalay Q3 2021 Results) und war im Jahr 2020 die sechsthöchste Untertagemine der Welt und ein Top-5-Produzent von Antimon weltweit.

SXG ist der Ansicht, dass es angemessen ist, dieselben Goldäquivalenzvariablen wie Mandalay Resources Ltd. in seinem technischen Bericht Mandalay 2022 vom 25. März 2022 zu verwenden. Die von Mandalay Resources verwendete Goldäquivalenzformel wurde anhand der in der Costerfield Property Brunswick Processing Plant im Jahr 2020 erzielten Ausbeuten berechnet, wobei ein Goldpreis von 1.700 US\$ pro Unze, ein Antimonpreis von 8.500 US\$ pro Tonne und Metallausbeuten für das gesamte Jahr 2021 von 93 % für Gold und 95 % für Antimon zugrunde gelegt wurden, und lautet wie folgt: $AuEq = Au (g/t) + 1,58 \times Sb (\%)$.

Basierend auf der jüngsten Costerfield-Berechnung und angesichts der ähnlichen geologischen Stile und der historischen Behandlung der Sunday Creek-Mineralisierung bei Costerfield ist SXG der Ansicht, dass ein $AuEq = Au (g/t) + 1,58 \times Sb (\%)$ für die anfänglichen Explorationsziele der Gold-Antimon-Mineralisierung bei Sunday Creek angemessen ist.

Über Mawson Gold Limited (TSXV:MAW, FRANKFURT:MXR, OTCPIK:MWSNF)

[Mawson Gold Limited](#) hat sich als ein führendes nordisches Explorationsunternehmen profiliert. In den letzten Jahrzehnten hat das Team hinter Mawson eine lange und erfolgreiche Bilanz bei der Entdeckung, Finanzierung und Weiterentwicklung von Mineralienprojekten in den nordischen Ländern und Australien vorzuweisen. Mawson besitzt die Goldentdeckung Skellefteå North und ein Portfolio an historischen Uranressourcen in Schweden. Mawson hält auch 51% der Southern Cross Gold Ltd. (ASX: SXG), das drei hochgradige, historische epizonale Goldfelder mit einer Länge von 470 km² in Victoria, Australien, besitzt oder kontrolliert, einschließlich der spannenden Sunday Creek Au-Sb Entdeckung.

Über Southern Cross Gold Ltd (ASX: SXG)

[Southern Cross Gold](#) besitzt das zu 100 % im Besitz befindliche Sunday Creek Projekt in Victoria und das Mt Isa Projekt in Queensland, die Redcastle und Whroo Joint Ventures in Victoria, Australien, sowie eine strategische 10 %ige Beteiligung an der an der ASX notierten Nagambie Resources Limited (ASX: NAG), die SXG ein Vorkaufsrecht auf ein 3.300 Quadratkilometer großes Grundstückspaket im Besitz von NAG in Victoria gewährt.

Im Namen des Verwaltungsrats,

"Michael Hudson"

Michael Hudson, Interims-CEO und geschäftsführender Vorsitzender

Weitere Informationen

www.mawsongold.com

1305 - 1090 West Georgia St., Vancouver, BC, V6E 3V7
Mariana Bermudez (Kanada), Unternehmenssekretärin
+1 (604) 685 9316 info@mawsongold.com

In Europa:

Swiss Resource Capital AG
Jochen Staiger & Marc Ollinger
info@resource-capital.ch
www.resource-capital.ch

Zukunftsgerichtete Aussage

Diese Pressemitteilung enthält zukunftsgerichtete Aussagen oder zukunftsgerichtete Informationen im Sinne der geltenden Wertpapiergesetze (zusammenfassend als "zukunftsgerichtete Aussagen" bezeichnet). Alle hierin enthaltenen Aussagen, mit Ausnahme von Aussagen über historische Fakten, sind zukunftsgerichtete Aussagen. Obwohl Mawson der Ansicht ist, dass solche Aussagen vernünftig sind, kann das Unternehmen keine Garantie dafür geben, dass sich diese Erwartungen als richtig erweisen werden. Zukunftsgerichtete Aussagen sind in der Regel durch Wörter wie glauben, erwarten, vorhersehen, beabsichtigen, schätzen, postulieren und ähnliche Ausdrücke gekennzeichnet oder beziehen sich auf zukünftige Ereignisse. Mawson weist Investoren darauf hin, dass zukunftsgerichtete Aussagen keine Garantie für zukünftige Ergebnisse oder Leistungen sind und dass die tatsächlichen Ergebnisse aufgrund verschiedener Faktoren erheblich von jenen in zukunftsgerichteten Aussagen abweichen können, einschließlich der Erwartungen von Mawson hinsichtlich seiner Beteiligung an Southern Cross Gold, Kapital- und andere Kosten, die erheblich von den Schätzungen abweichen, Veränderungen auf den Weltmetallmärkten, Veränderungen auf den Aktienmärkten, die potenziellen Auswirkungen von Epidemien, Pandemien oder anderen Krisen im Bereich der öffentlichen Gesundheit, einschließlich COVID-19, auf das Geschäft des Unternehmens, Risiken im Zusammenhang mit negativer Publicity in Bezug auf das Unternehmen oder die Bergbauindustrie im Allgemeinen; Explorationspotenzial, das konzeptioneller Natur ist, unzureichende Exploration, um eine Mineralressource auf den australischen Projekten im Besitz von SXG zu definieren, und Ungewissheit, ob weitere Explorationen zur Bestimmung einer Mineralressource führen werden; geplante Bohrprogramme und Ergebnisse, die von den Erwartungen abweichen, Verzögerungen beim Erhalt von Ergebnissen, Ausrüstungsausfälle, unerwartete geologische Bedingungen, die Beziehungen zu den lokalen Gemeinden, der Umgang mit Nichtregierungsorganisationen, Verzögerungen bei der Erteilung von Genehmigungen, Umwelt- und Sicherheitsrisiken sowie andere Risiken und Ungewissheiten, die unter der Überschrift "Risikofaktoren" in Mawsons jüngstem Jahresbericht auf [SEDAR](#) veröffentlicht wurden. Jede zukunftsgerichtete Aussage bezieht sich nur auf das Datum, an dem sie getätigt wird, und Mawson lehnt jede Absicht oder Verpflichtung ab, zukunftsgerichtete Aussagen zu aktualisieren, sei es aufgrund neuer Informationen, zukünftiger Ereignisse oder Ergebnisse oder aus anderen Gründen.

Abbildung 1: Grundriss von Sunday Creek mit den hier gemeldeten Bohrlöchern SDDSC094A, 96, 98-104 (grauer Kasten, blau hervorgehoben), ausgewählten früher gemeldeten Bohrlöchern und noch nicht abgeschlossenen Bohrungen. Zur Lage siehe Abbildung 4.

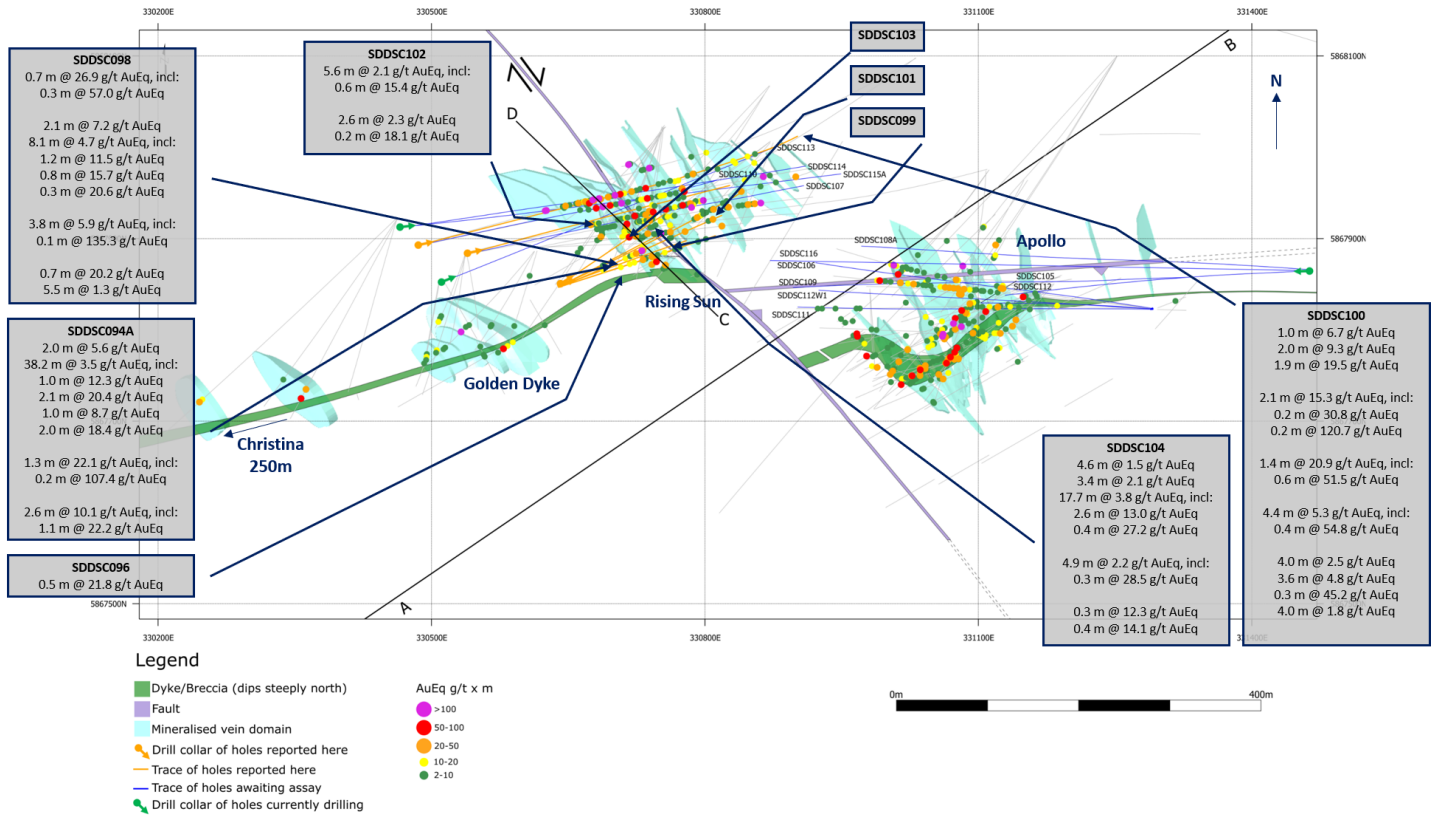


Abbildung 2: Sunday Creek-Längsschnitt durch A-B in der Ebene der Dyke-Brekzie/alterierten Sedimente (siehe Abbildung 1) mit Blick in Richtung Norden (Streichung 236 Grad), der mineralisierte Adersätze zeigt. Zeigt SDDSC094A, 96, 98-104, über die hier berichtet wird, sowie frühere gemeldete Bohrlöcher. Lage von Abbildung 3 (Abschnitt C-D mit roten Pfeilen markiert).

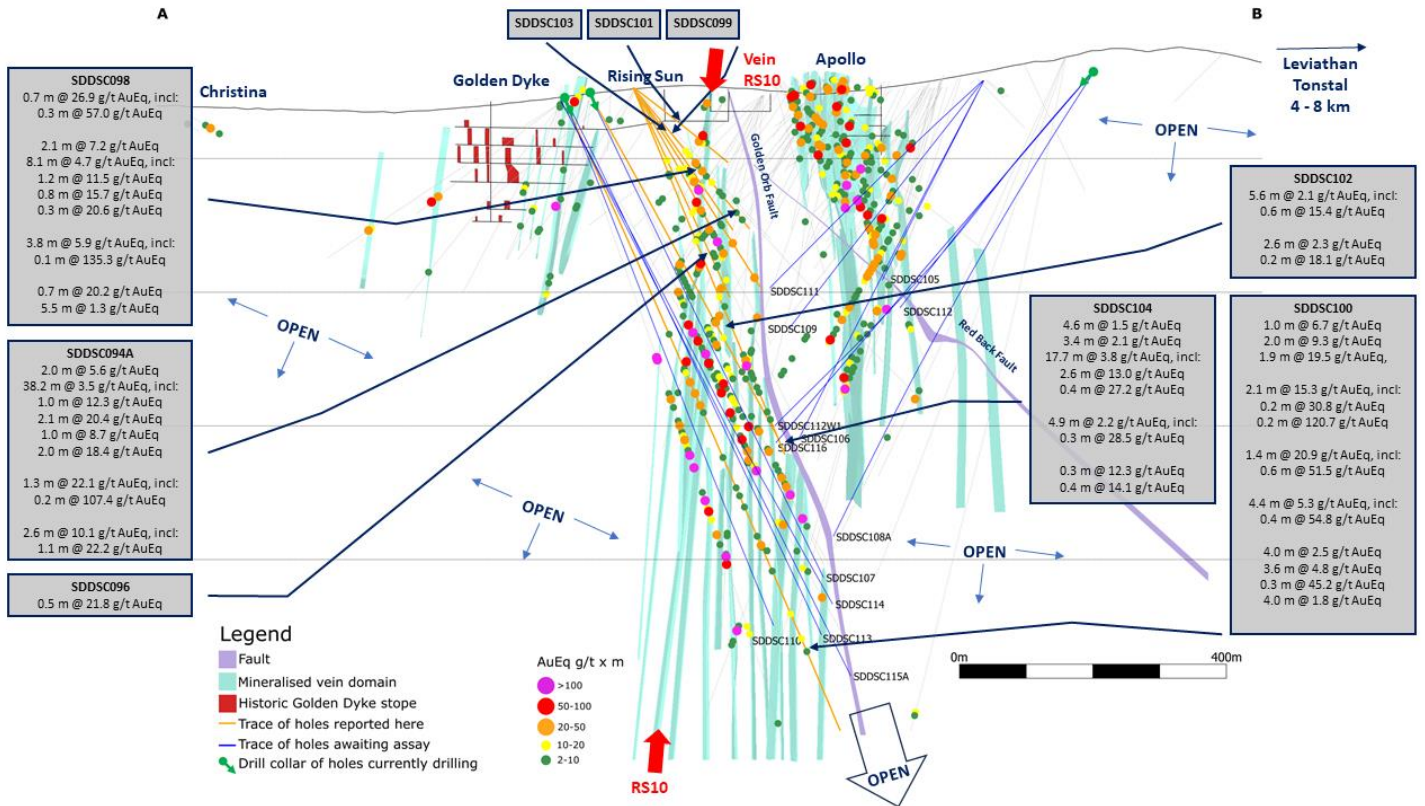


Abbildung 3: Sunday Creek-Längsschnitt durch C-D in der Ebene des modellierten Adersatzes RS10, Blick in Richtung Südwesten (Streichung 314 Grad). Zeigt SDDSC094A, 96, 98-104, über die hier berichtet wird, sowie die zuvor gemeldeten Bohrlöcher.

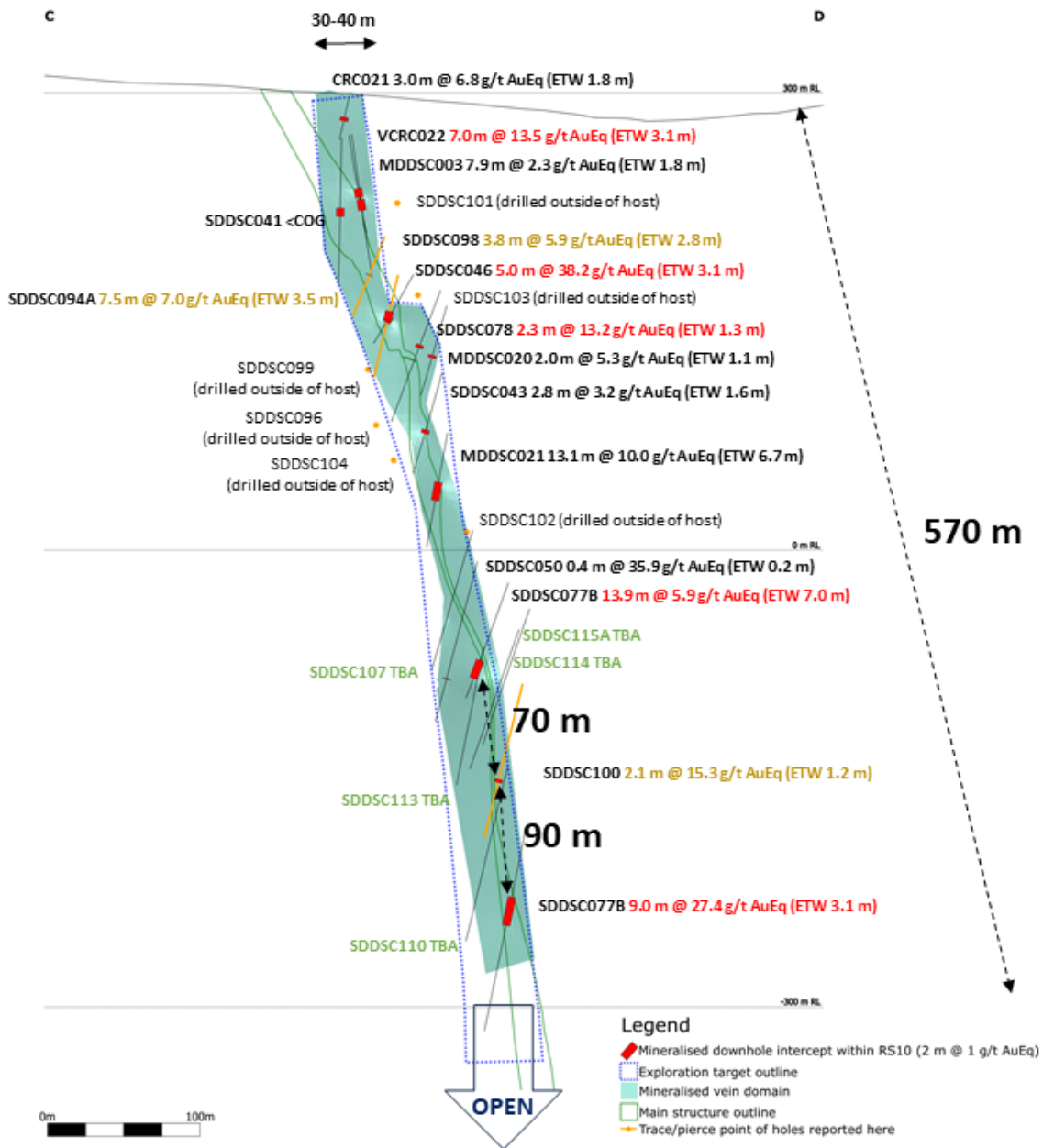


Abbildung 4: Regionale Draufsicht auf Sunday Creek mit LiDAR, Bodenproben, strukturellem Rahmen, regionalen historischen epizonalen Goldabbaugebieten und breiten regionalen Gebieten (Tonstal, Consols und Leviathan), die durch 12 Bohrlöcher im Rahmen des 2.383 m langen Bohrprogramms erprobt wurden. Die regionalen Bohrgebiete befinden sich bei Tonstal, Consols und Leviathan, die 4.000-7.500 m entlang des Streichens vom Hauptbohrgebiet bei Golden Dyke-Apollo entfernt liegen.

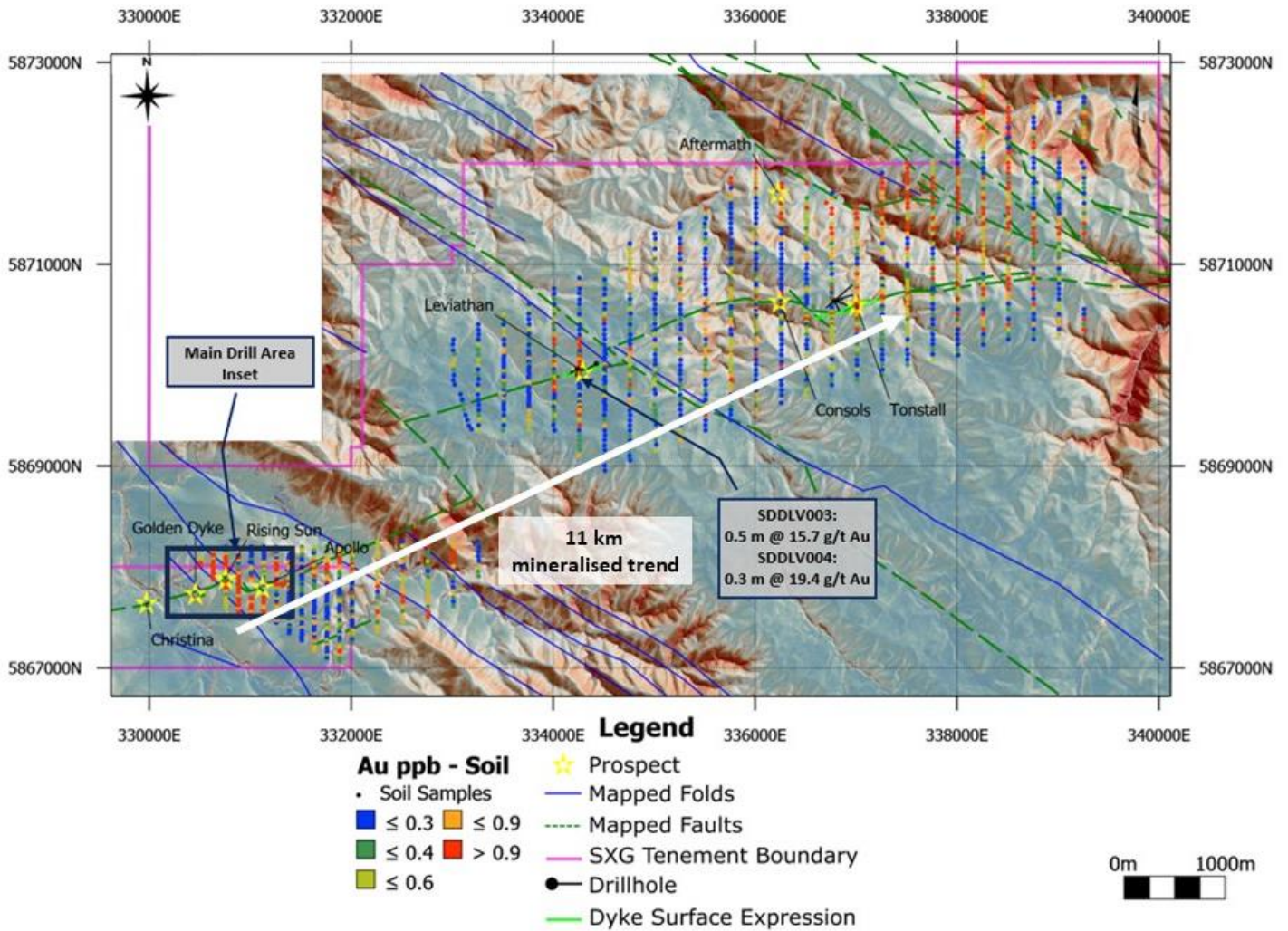


Abbildung 5: Standort des Projekts Sunday Creek, zusammen mit den anderen Projekten von SXG in Victoria und einer vereinfachten Geologie.

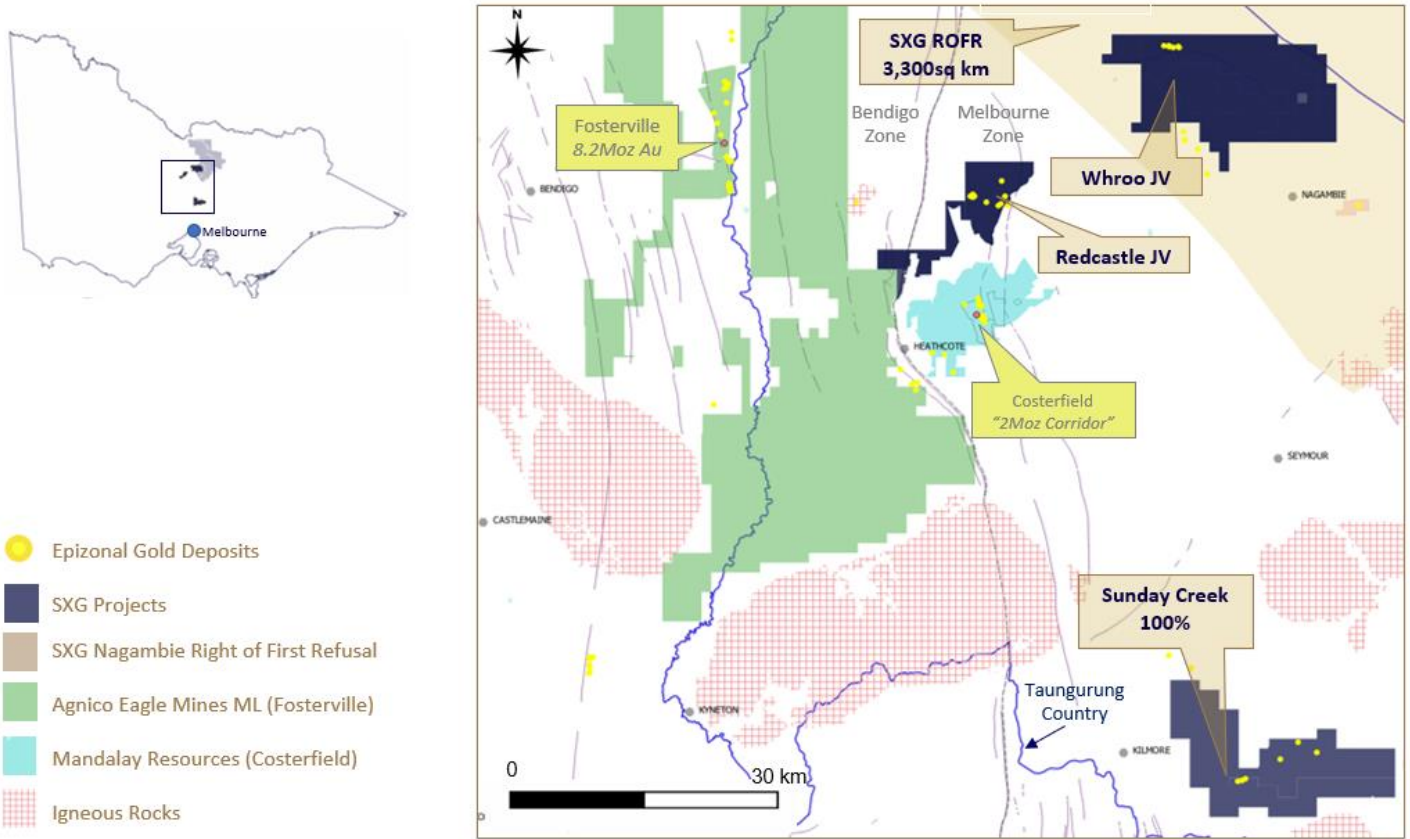


Tabelle 1: Zusammenfassende Tabelle der Bohrkragen für die jüngsten Bohrlöcher in Arbeit.

Bohrung_ID	Tiefe (m)	Aussicht	Osten GDA94_Z55	Norden GDA94_Z55	Erhebungen	Azimut	Eintauchen
SDDSC092	803.8	Rising Sun	330537	5867882	295.5	79.0	-60
SDDSC093	610.9	Rising Sun	331291	5867823	316.8	271	-47.5
SDDSC094	23.3	Rising Sun	330639	5867846	306.2	68.5	-56
SDDSC094A	359.6	Rising Sun	330639	5867846	306.1	68.5	-56
SDDSC095	368.3	Apollo	331291	5867823	316.8	271	-53
SDDSC096	347.9	Rising Sun	330639	5867846	306.1	68	-63.5
SDDSC097	62.3	Apollo	331291	5867823	316.8	276	-50.5
SDDSC097A	575	Apollo	331291	5867823	316.8	277	-50
SDDSC098	278.5	Rising Sun	330639	5867846	306.1	72	-48.5
SDDSC099	284.7	Rising Sun	330639	5867846	306.1	71.5	-58.5
SDDSC100	1042	Rising Sun	330482	5867891	289.5	74.5	-64
SDDSC101	181.5	Rising Sun	330639	5867846	306.1	63	-37
SDDSC102	596.8	Rising Sun	330537	5867883	295.5	75	-59
SDDSC103	260.6	Rising Sun	330639	5867847	306.1	53	-53
SDDSC104	595.2	Rising Sun	330639	5867847	306.1	64.5	-65.7
SDDSC105	353.6	Apollo	331291	5867823	316.8	275.3	-55.2
SDDSC106	653.5	Apollo	331291	5867823	316.8	279.5	-53
SDDSC107	815.9	Rising Sun	330537	5867883	295.5	77.5	-62
SDDSC108A	855.9	Apollo	331464	5867865	333	272.5	-50
SDDSC109	520.9	Apollo	331291	5867823	316.8	273.5	-44.5
SDDSC110	856.7	Rising Sun	330482	5867892	289.5	78	-66
SDDSC111	496.7	Apollo	331291	5867823	316.8	270	-38
SDDSC112	490.9	Apollo	331464	5867865	333	267	-42
SDDSC112W1	766.4	Apollo	331329	5867859	200	267	-42
SDDSC113	In Arbeit befindlicher Plan 900 m	Rising Sun	330511	5867853	296.6	67.5	-63.5
SDDSC114	878.6	Rising Sun	330464	5867914	286.6	82	-58
SDDSC115	17.6	Rising Sun	330464	5867912	286.6	83	-58.5
SDDSC115A	In Arbeit befindlicher Plan 990 m	Rising Sun	330464	5867912	286.7	83	-59
SDDSC116	In Arbeit befindlicher Plan 690 m	Rising Sun	331465	5867865	333.3	272.5	-41.5

Tabelle 2: Tabellen der mineralisierten Bohrlochabschnitte, die aus SDDSC094A, 96, 98-104 gemeldet wurden unter Anwendung von zwei Cutoff-Kriterien. Niedrigere Gehalte werden mit einem Cutoff von 1,0 g/t über maximal 2 m und höhere Gehalte mit einem Cutoff von 5,0 g/t AuEq über maximal 1 m abgeschnitten.

Loch-ID	Von (m)	Nach (m)	Länge (m)	Au g/t	Sb%	AuEq g/t
SDDSC094A	144.00	146.00	2.0	5.5	0.1	5.6
einschließlich	144.00	145.25	1.3	7.3	0.1	7.4
SDDSC094A	154.00	157.00	3.0	2.1	0.5	2.9
SDDSC094A	159.90	163.00	3.1	5.1	0.4	5.8
einschließlich	161.00	162.00	1.0	11.3	0.6	12.3
SDDSC094A	167.90	170.00	2.1	19.6	0.5	20.4
SDDSC094A	179.00	186.45	7.4	3.1	2.4	7.0
einschließlich	179.00	180.00	1.0	6.5	1.4	8.7
einschließlich	184.40	186.45	2.0	6.7	7.4	18.4
SDDSC094A	188.59	188.89	0.3	1.1	0.4	1.8
SDDSC094A	194.34	194.84	0.5	1.2	0.3	1.7
SDDSC094A	201.33	201.60	0.3	0.7	0.3	1.2
SDDSC094A	227.15	227.30	0.2	0.7	4.7	8.2
SDDSC094A	243.20	244.10	0.9	2.7	0.0	2.7
SDDSC094A	246.20	251.77	5.6	0.8	0.1	0.9
SDDSC094A	277.30	278.56	1.3	13.0	5.8	22.1
einschließlich	277.87	278.10	0.2	59.2	30.5	107.4
SDDSC094A	281.40	281.66	0.3	7.8	0.6	8.7
SDDSC094A	338.16	340.77	2.6	9.3	0.5	10.1
einschließlich	338.16	339.27	1.1	20.3	1.2	22.2
SDDSC096	120.84	121.34	0.5	21.8	0.0	21.8
SDDSC096	128.75	129.00	0.3	3.0	0.0	3.0
SDDSC096	140.35	140.69	0.3	1.2	0.0	1.2
SDDSC096	143.95	144.64	0.7	1.8	0.0	1.8
SDDSC098	98.28	98.74	0.5	2.5	0.1	2.7
SDDSC098	125.30	125.95	0.7	17.9	5.7	26.9
einschließlich	125.65	125.95	0.3	37.7	12.2	57.0
SDDSC098	132.80	134.89	2.1	3.9	2.1	7.2
SDDSC098	147.10	155.23	8.1	1.8	1.8	4.7
einschließlich	147.60	148.75	1.2	4.1	4.7	11.5
einschließlich	150.45	151.28	0.8	5.2	6.7	15.7
einschließlich	154.28	154.57	0.3	3.0	11.2	20.6
SDDSC098	160.15	160.30	0.2	0.3	1.0	1.9
SDDSC098	162.45	166.20	3.8	3.9	1.3	5.9
einschließlich	166.05	166.20	0.1	96.0	24.9	135.3
SDDSC098	169.77	169.92	0.1	0.5	5.6	9.4
SDDSC098	172.30	176.00	3.7	0.5	0.2	0.9
SDDSC098	187.29	188.00	0.7	20.1	0.0	20.2

SDDSC098	194.36	194.89	0.5	0.8	1.6	3.4
SDDSC098	204.23	207.77	3.5	0.4	0.4	1.0
SDDSC098	211.00	216.51	5.5	1.2	0.0	1.3
SDDSC098	221.05	221.71	0.7	2.1	0.1	2.2
SDDSC098	241.06	242.55	1.5	1.1	0.0	1.1
SDDSC098	245.92	247.60	1.7	1.5	0.0	1.5
SDDSC098	259.89	263.00	3.1	0.1	0.4	0.8
einschließlich	259.89	260.10	0.2	0.3	3.7	6.1
SDDSC099	140.73	141.55	0.8	12.5	0.0	12.5
einschließlich	140.73	141.55	0.8	12.5	0.0	12.5
SDDSC100	390.00	391.00	1.0	4.9	1.1	6.7
SDDSC100	447.00	448.00	1.0	2.6	0.0	2.6
SDDSC100	453.00	455.00	2.0	7.7	1.1	9.3
SDDSC100	468.95	470.90	1.9	16.8	1.7	19.5
einschließlich	469.50	470.90	1.4	22.8	2.4	26.6
SDDSC100	487.40	489.45	2.1	7.5	4.9	15.3
einschließlich	487.40	487.60	0.2	9.8	13.3	30.8
einschließlich	489.25	489.45	0.2	62.9	36.6	120.7
SDDSC100	507.55	509.00	1.4	20.5	0.2	20.9
einschließlich	507.55	508.10	0.6	51.5	0.0	51.5
SDDSC100	519.00	521.00	2.0	0.6	0.6	1.6
SDDSC100	534.00	534.50	0.5	1.5	0.0	1.5
SDDSC100	593.21	594.90	1.7	0.5	0.6	1.4
SDDSC100	626.80	627.10	0.3	5.2	0.5	5.9
SDDSC100	634.45	634.90	0.4	1.0	0.1	1.1
SDDSC100	643.55	644.40	0.9	2.6	0.0	2.7
SDDSC100	652.16	658.46	6.3	0.6	0.2	0.9
SDDSC100	674.20	679.09	4.9	0.7	0.6	1.6
einschließlich	674.20	674.40	0.2	4.6	0.4	5.2
einschließlich	676.00	676.28	0.3	4.0	0.8	5.3
SDDSC100	683.35	683.70	0.4	1.7	0.3	2.2
SDDSC100	723.55	724.00	0.5	7.5	0.1	7.7
SDDSC100	730.06	732.22	2.2	0.1	0.3	0.6
SDDSC100	737.32	741.70	4.4	4.9	0.3	5.3
einschließlich	739.44	739.80	0.4	50.7	2.6	54.8
SDDSC100	779.00	783.00	4.0	2.3	0.1	2.5
einschließlich	779.00	780.00	1.0	6.8	0.0	6.8
SDDSC100	788.00	791.00	3.0	0.9	0.0	0.9
SDDSC100	819.10	819.40	0.3	1.6	0.0	1.6
SDDSC100	829.95	830.50	0.5	3.0	0.0	3.0
SDDSC100	849.60	853.20	3.6	4.8	0.0	4.8
einschließlich	850.30	850.95	0.7	10.4	0.0	10.4
einschließlich	852.00	853.20	1.2	8.4	0.0	8.4

SDDSC100	859.00	859.30	0.3	1.1	0.0	1.1
SDDSC100	891.60	891.94	0.3	45.2	0.0	45.2
SDDSC100	911.00	915.00	4.0	1.7	0.0	1.8
einschließlich	911.42	911.88	0.5	6.5	0.0	6.5
SDDSC102	364.48	366.05	1.6	0.4	0.2	0.7
SDDSC102	373.43	373.66	0.2	1.0	0.5	1.8
SDDSC102	378.63	378.86	0.2	0.6	0.5	1.5
SDDSC102	387.30	387.49	0.2	0.6	1.9	3.5
SDDSC102	390.00	393.26	3.3	0.3	0.8	1.6
einschließlich	390.00	390.21	0.2	1.1	7.7	13.2
SDDSC102	419.25	424.89	5.6	2.0	0.1	2.1
einschließlich	419.25	419.80	0.6	15.3	0.0	15.4
SDDSC102	457.75	458.00	0.3	1.6	0.0	1.6
SDDSC102	478.40	481.00	2.6	2.2	0.1	2.3
einschließlich	479.65	480.20	0.6	6.3	0.0	6.3
SDDSC102	491.20	492.61	1.4	2.4	0.1	2.5
einschließlich	491.20	491.70	0.5	5.1	0.0	5.1
SDDSC102	495.04	495.23	0.2	16.6	1.0	18.1
SDDSC102	501.00	502.03	1.0	0.8	0.3	1.2
SDDSC104	119.10	121.94	2.8	1.0	0.0	1.0
SDDSC104	127.60	127.75	0.2	0.7	2.3	4.3
SDDSC104	140.00	144.60	4.6	1.5	0.0	1.5
einschließlich	144.00	144.60	0.6	5.9	0.0	5.9
SDDSC104	431.69	435.12	3.4	1.0	0.7	2.1
einschließlich	433.70	433.92	0.2	0.7	2.9	5.3
SDDSC104	439.58	445.26	5.7	3.4	2.3	7.1
einschließlich	441.27	441.47	0.2	5.1	0.7	6.2
einschließlich	442.68	445.26	2.6	5.5	4.7	13.0
SDDSC104	447.58	455.66	8.1	2.5	0.4	3.1
einschließlich	449.16	449.59	0.4	4.7	1.0	6.3
einschließlich	454.93	455.36	0.4	20.6	4.2	27.2
SDDSC104	461.98	466.91	4.9	1.9	0.2	2.2
einschließlich	463.40	463.65	0.3	1.2	2.7	5.5
einschließlich	466.63	466.91	0.3	27.7	0.5	28.5
SDDSC104	471.32	471.62	0.3	12.3	0.0	12.3
SDDSC104	472.79	473.03	0.2	1.8	0.6	2.8
SDDSC104	486.07	486.44	0.4	13.8	0.2	14.1
einschließlich	486.07	486.44	0.4	13.8	0.2	14.1
SDDSC104	490.67	494.00	3.3	0.6	0.4	1.3
SDDSC104	495.85	496.55	0.7	1.2	0.2	1.5
SDDSC104	501.84	502.56	0.7	1.4	0.6	2.3
SDDSC104	525.00	530.00	5.0	0.8	0.0	0.8
SDDSC104	537.73	539.15	1.4	1.8	0.0	1.8

Tabelle 3: Alle gemeldeten Einzelproben von SDDSC094A, 96, 98-104, die hier mit >0,1 g/t AuEq.

Loch-ID	Von (m)	Nach (m)	Länge (m)	Au g/t	Sb%	AuEq g/t
SDDSC094A	64.55	64.85	0.3	0.1	0.0	0.1
SDDSC094A	64.85	65.20	0.4	0.2	0.0	0.2
SDDSC094A	65.60	66.30	0.7	0.5	0.0	0.5
SDDSC094A	89.90	91.00	1.1	0.1	0.0	0.1
SDDSC094A	102.00	102.80	0.8	0.1	0.0	0.1
SDDSC094A	103.80	104.90	1.1	0.1	0.0	0.1
SDDSC094A	107.00	108.25	1.3	0.1	0.0	0.1
SDDSC094A	109.50	110.50	1.0	0.1	0.0	0.1
SDDSC094A	110.50	111.80	1.3	0.2	0.0	0.2
SDDSC094A	111.80	113.00	1.2	0.1	0.0	0.1
SDDSC094A	113.00	114.20	1.2	0.2	0.0	0.2
SDDSC094A	114.20	115.40	1.2	0.3	0.0	0.3
SDDSC094A	115.40	116.60	1.2	0.7	0.0	0.7
SDDSC094A	116.60	117.80	1.2	0.1	0.0	0.2
SDDSC094A	131.00	132.30	1.3	0.0	0.1	0.1
SDDSC094A	132.30	133.30	1.0	0.1	0.0	0.1
SDDSC094A	135.60	136.60	1.0	0.1	0.0	0.1
SDDSC094A	136.60	137.60	1.0	0.2	0.0	0.2
SDDSC094A	138.80	140.00	1.2	0.2	0.0	0.3
SDDSC094A	141.00	142.00	1.0	0.3	0.0	0.3
SDDSC094A	142.00	143.00	1.0	0.1	0.0	0.1
SDDSC094A	144.00	145.25	1.3	7.3	0.1	7.4
SDDSC094A	145.25	146.00	0.8	2.4	0.0	2.5
SDDSC094A	146.00	147.00	1.0	0.0	0.0	0.1
SDDSC094A	150.00	151.00	1.0	0.1	0.0	0.1
SDDSC094A	151.00	152.00	1.0	0.1	0.0	0.1
SDDSC094A	152.00	153.00	1.0	0.8	0.0	0.8
SDDSC094A	153.00	154.00	1.0	0.4	0.0	0.4
SDDSC094A	154.00	155.00	1.0	0.9	0.5	1.7
SDDSC094A	155.00	156.00	1.0	1.5	0.5	2.2
SDDSC094A	156.00	157.00	1.0	3.8	0.7	4.8
SDDSC094A	157.00	158.00	1.0	0.1	0.0	0.1
SDDSC094A	158.00	158.70	0.7	0.5	0.0	0.5
SDDSC094A	158.70	159.90	1.2	0.7	0.0	0.7
SDDSC094A	159.90	160.40	0.5	1.1	0.0	1.2
SDDSC094A	160.40	161.00	0.6	4.0	0.3	4.5
SDDSC094A	161.00	162.00	1.0	11.3	0.6	12.3
SDDSC094A	162.00	163.00	1.0	1.7	0.4	2.4
SDDSC094A	163.00	163.80	0.8	0.7	0.0	0.7

SDDSC094A	163.80	165.00	1.2	0.7	0.1	0.8
SDDSC094A	165.00	166.00	1.0	0.6	0.0	0.6
SDDSC094A	166.00	167.00	1.0	0.4	0.0	0.5
SDDSC094A	167.00	167.90	0.9	0.8	0.0	0.9
SDDSC094A	167.90	169.00	1.1	19.4	0.1	19.6
SDDSC094A	169.00	170.00	1.0	19.8	1.0	21.3
SDDSC094A	170.00	171.00	1.0	0.7	0.0	0.7
SDDSC094A	171.00	172.00	1.0	0.5	0.0	0.5
SDDSC094A	172.00	173.00	1.0	0.6	0.0	0.6
SDDSC094A	173.00	174.00	1.0	0.1	0.0	0.1
SDDSC094A	174.00	175.00	1.0	0.1	0.0	0.1
SDDSC094A	175.00	176.00	1.0	0.4	0.0	0.4
SDDSC094A	176.00	177.00	1.0	0.2	0.0	0.2
SDDSC094A	177.00	178.00	1.0	0.1	0.0	0.1
SDDSC094A	178.00	179.00	1.0	0.2	0.0	0.2
SDDSC094A	179.00	180.00	1.0	6.5	1.4	8.7
SDDSC094A	180.00	181.00	1.0	0.5	0.1	0.6
SDDSC094A	181.00	182.00	1.0	0.6	0.6	1.6
SDDSC094A	182.00	183.00	1.0	0.5	0.1	0.7
SDDSC094A	183.00	183.30	0.3	0.4	0.1	0.5
SDDSC094A	183.30	183.66	0.4	1.0	0.6	2.0
SDDSC094A	183.66	184.13	0.5	1.4	1.4	3.6
SDDSC094A	184.13	184.40	0.3	0.8	0.1	1.0
SDDSC094A	184.40	184.78	0.4	20.5	34.7	75.3
SDDSC094A	184.78	185.38	0.6	0.9	2.0	4.1
SDDSC094A	185.38	185.52	0.1	0.9	2.9	5.4
SDDSC094A	185.52	186.45	0.9	5.7	0.4	6.3
SDDSC094A	186.45	187.29	0.8	0.3	0.1	0.5
SDDSC094A	187.29	187.98	0.7	0.5	0.0	0.5
SDDSC094A	187.98	188.59	0.6	0.5	0.0	0.5
SDDSC094A	188.59	188.89	0.3	1.1	0.4	1.8
SDDSC094A	188.89	189.88	1.0	0.0	0.0	0.1
SDDSC094A	189.88	190.23	0.4	0.3	0.0	0.4
SDDSC094A	190.23	191.32	1.1	0.2	0.0	0.3
SDDSC094A	191.32	192.40	1.1	0.2	0.0	0.2
SDDSC094A	192.40	193.52	1.1	0.2	0.0	0.2
SDDSC094A	193.52	193.76	0.2	0.1	0.0	0.1
SDDSC094A	193.76	194.34	0.6	0.2	0.0	0.2
SDDSC094A	194.34	194.58	0.2	1.5	0.2	1.7
SDDSC094A	194.58	194.84	0.3	1.0	0.5	1.7
SDDSC094A	194.84	195.43	0.6	0.2	0.0	0.2
SDDSC094A	195.43	196.30	0.9	0.4	0.1	0.5
SDDSC094A	196.30	197.28	1.0	0.1	0.0	0.2

SDDSC094A	197.48	198.31	0.8	0.2	0.0	0.2
SDDSC094A	198.31	198.44	0.1	0.0	0.0	0.1
SDDSC094A	198.44	199.54	1.1	0.2	0.0	0.2
SDDSC094A	200.60	201.33	0.7	0.4	0.0	0.5
SDDSC094A	201.33	201.60	0.3	0.7	0.3	1.2
SDDSC094A	201.60	202.65	1.1	0.4	0.0	0.4
SDDSC094A	202.65	202.81	0.2	0.1	0.0	0.1
SDDSC094A	202.81	203.44	0.6	0.1	0.0	0.1
SDDSC094A	203.44	204.06	0.6	0.0	0.0	0.1
SDDSC094A	204.06	204.57	0.5	0.1	0.0	0.1
SDDSC094A	205.31	205.45	0.1	0.3	0.0	0.3
SDDSC094A	208.00	209.00	1.0	0.0	0.0	0.1
SDDSC094A	210.10	210.76	0.7	0.1	0.0	0.1
SDDSC094A	210.76	211.60	0.8	0.1	0.0	0.1
SDDSC094A	212.35	213.11	0.8	0.1	0.0	0.1
SDDSC094A	213.11	213.60	0.5	0.1	0.0	0.1
SDDSC094A	213.60	214.60	1.0	0.1	0.0	0.1
SDDSC094A	214.60	215.70	1.1	0.1	0.0	0.1
SDDSC094A	216.00	217.00	1.0	0.2	0.0	0.2
SDDSC094A	217.00	217.80	0.8	0.2	0.1	0.3
SDDSC094A	217.80	218.10	0.3	0.1	0.0	0.1
SDDSC094A	218.10	219.10	1.0	0.3	0.0	0.3
SDDSC094A	219.97	220.27	0.3	0.4	0.1	0.5
SDDSC094A	220.27	220.56	0.3	0.3	0.0	0.3
SDDSC094A	221.10	221.64	0.5	0.1	0.0	0.1
SDDSC094A	221.64	222.40	0.8	0.1	0.0	0.1
SDDSC094A	223.00	224.00	1.0	0.1	0.0	0.1
SDDSC094A	227.00	227.15	0.2	0.8	0.0	0.8
SDDSC094A	227.15	227.30	0.2	0.7	4.7	8.2
SDDSC094A	227.30	227.50	0.2	0.1	0.0	0.1
SDDSC094A	227.50	228.15	0.7	0.1	0.0	0.1
SDDSC094A	229.18	230.20	1.0	0.1	0.0	0.1
SDDSC094A	230.20	231.10	0.9	0.1	0.0	0.1
SDDSC094A	231.10	231.60	0.5	0.1	0.0	0.1
SDDSC094A	231.60	232.05	0.5	0.5	0.0	0.5
SDDSC094A	233.00	233.40	0.4	0.2	0.0	0.2
SDDSC094A	233.40	234.25	0.9	0.1	0.0	0.1
SDDSC094A	234.25	234.43	0.2	0.1	0.0	0.1
SDDSC094A	234.43	235.00	0.6	0.1	0.0	0.1
SDDSC094A	235.70	236.28	0.6	0.1	0.0	0.1
SDDSC094A	236.28	236.94	0.7	0.2	0.0	0.2
SDDSC094A	236.94	237.35	0.4	0.1	0.0	0.1
SDDSC094A	237.35	238.30	1.0	0.2	0.1	0.3

SDDSC094A	239.20	240.20	1.0	0.6	0.0	0.6
SDDSC094A	240.20	241.00	0.8	0.7	0.0	0.7
SDDSC094A	241.00	241.85	0.9	0.1	0.0	0.1
SDDSC094A	241.85	242.48	0.6	0.4	0.0	0.4
SDDSC094A	242.48	243.20	0.7	1.0	0.0	1.0
SDDSC094A	243.20	244.10	0.9	2.7	0.0	2.7
SDDSC094A	244.10	244.97	0.9	0.7	0.1	0.8
SDDSC094A	244.97	245.39	0.4	0.5	0.0	0.5
SDDSC094A	245.39	246.20	0.8	0.9	0.0	0.9
SDDSC094A	246.20	247.03	0.8	1.1	0.0	1.1
SDDSC094A	247.03	247.90	0.9	1.4	0.0	1.4
SDDSC094A	247.90	248.55	0.7	0.4	0.0	0.4
SDDSC094A	248.55	249.17	0.6	0.6	0.0	0.6
SDDSC094A	249.17	249.80	0.6	0.3	0.0	0.3
SDDSC094A	249.80	250.20	0.4	0.4	0.7	1.5
SDDSC094A	250.20	251.00	0.8	0.4	0.0	0.5
SDDSC094A	251.00	251.77	0.8	1.2	0.0	1.2
SDDSC094A	251.77	252.05	0.3	0.1	0.0	0.1
SDDSC094A	252.05	253.32	1.3	0.1	0.0	0.1
SDDSC094A	253.32	254.40	1.1	0.3	0.0	0.3
SDDSC094A	254.40	255.09	0.7	0.2	0.0	0.2
SDDSC094A	255.09	255.22	0.1	0.2	0.0	0.2
SDDSC094A	255.80	256.00	0.2	0.3	0.0	0.3
SDDSC094A	256.00	256.88	0.9	0.1	0.0	0.1
SDDSC094A	256.88	257.70	0.8	0.1	0.0	0.1
SDDSC094A	257.70	258.55	0.9	0.2	0.0	0.2
SDDSC094A	258.55	259.30	0.8	0.1	0.0	0.1
SDDSC094A	259.30	259.88	0.6	0.1	0.0	0.1
SDDSC094A	260.63	261.10	0.5	0.3	0.1	0.4
SDDSC094A	261.10	261.90	0.8	0.7	0.0	0.7
SDDSC094A	261.90	262.50	0.6	0.4	0.0	0.5
SDDSC094A	262.50	263.23	0.7	0.1	0.0	0.1
SDDSC094A	263.23	263.85	0.6	0.2	0.0	0.2
SDDSC094A	263.85	264.50	0.7	0.1	0.0	0.1
SDDSC094A	265.50	266.49	1.0	0.2	0.0	0.3
SDDSC094A	266.49	267.16	0.7	0.6	0.0	0.6
SDDSC094A	267.16	268.06	0.9	0.3	0.0	0.3
SDDSC094A	268.06	269.06	1.0	0.2	0.0	0.2
SDDSC094A	271.84	272.67	0.8	0.1	0.0	0.1
SDDSC094A	272.67	273.41	0.7	0.1	0.0	0.1
SDDSC094A	273.41	274.50	1.1	0.1	0.0	0.1
SDDSC094A	274.50	275.50	1.0	0.1	0.1	0.2
SDDSC094A	275.50	276.12	0.6	0.1	0.0	0.1

SDDSC094A	276.12	276.80	0.7	0.1	0.0	0.1
SDDSC094A	277.30	277.87	0.6	3.7	0.3	4.1
SDDSC094A	277.87	278.10	0.2	59.2	30.5	107.4
SDDSC094A	278.10	278.56	0.5	1.4	0.3	1.8
SDDSC094A	278.56	279.50	0.9	0.2	0.0	0.2
SDDSC094A	280.50	281.40	0.9	0.3	0.1	0.4
SDDSC094A	281.40	281.66	0.3	7.8	0.6	8.7
SDDSC094A	281.66	282.50	0.8	0.5	0.1	0.7
SDDSC094A	284.20	285.20	1.0	0.4	0.1	0.6
SDDSC094A	285.20	286.20	1.0	0.0	0.0	0.1
SDDSC094A	287.10	288.10	1.0	0.1	0.0	0.1
SDDSC094A	288.10	289.10	1.0	0.1	0.0	0.2
SDDSC094A	292.00	292.50	0.5	0.1	0.0	0.1
SDDSC094A	335.00	336.00	1.0	0.1	0.0	0.1
SDDSC094A	337.81	338.16	0.4	0.3	0.0	0.3
SDDSC094A	338.16	338.53	0.4	31.5	1.0	33.0
SDDSC094A	338.53	338.88	0.4	18.1	0.5	18.9
SDDSC094A	338.88	339.27	0.4	11.7	2.0	14.9
SDDSC094A	339.27	340.07	0.8	0.5	0.0	0.5
SDDSC094A	340.07	340.77	0.7	1.8	0.0	1.8
SDDSC094A	340.77	342.00	1.2	0.2	0.0	0.2
SDDSC094A	342.00	343.25	1.3	0.3	0.0	0.3
SDDSC094A	343.25	344.20	1.0	0.3	0.0	0.3
SDDSC094A	344.20	345.34	1.1	0.2	0.0	0.2
SDDSC094A	345.34	346.40	1.1	0.2	0.0	0.2
SDDSC094A	346.40	347.30	0.9	0.1	0.0	0.1
SDDSC094A	354.50	355.63	1.1	0.1	0.0	0.1
SDDSC094A	355.63	356.10	0.5	0.1	0.0	0.1
SDDSC094A	356.10	357.22	1.1	0.1	0.0	0.1
SDDSC094A	357.22	358.15	0.9	0.1	0.0	0.1
SDDSC096	105.60	106.04	0.4	0.1	0.0	0.1
SDDSC096	113.55	114.07	0.5	0.1	0.0	0.1
SDDSC096	114.07	114.55	0.5	0.5	0.0	0.5
SDDSC096	115.22	116.20	1.0	0.2	0.0	0.2
SDDSC096	116.76	117.48	0.7	0.4	0.0	0.4
SDDSC096	120.84	121.34	0.5	21.8	0.0	21.8
SDDSC096	121.34	122.30	1.0	0.1	0.0	0.1
SDDSC096	122.73	123.75	1.0	0.5	0.0	0.5
SDDSC096	123.75	124.40	0.7	0.3	0.0	0.3
SDDSC096	124.40	125.05	0.7	0.5	0.0	0.5
SDDSC096	128.75	129.00	0.3	3.0	0.0	3.0
SDDSC096	129.00	129.93	0.9	0.2	0.0	0.2
SDDSC096	133.76	133.90	0.1	0.0	0.0	0.1

SDDSC096	133.90	134.44	0.5	0.1	0.1	0.2
SDDSC096	134.44	134.63	0.2	0.2	0.0	0.3
SDDSC096	137.00	138.00	1.0	0.1	0.0	0.1
SDDSC096	138.00	139.00	1.0	0.1	0.0	0.1
SDDSC096	140.16	140.35	0.2	0.2	0.0	0.2
SDDSC096	140.35	140.69	0.3	1.2	0.0	1.2
SDDSC096	142.60	143.15	0.6	0.2	0.0	0.2
SDDSC096	143.15	143.75	0.6	0.9	0.0	0.9
SDDSC096	143.95	144.64	0.7	1.8	0.0	1.8
SDDSC096	144.64	145.84	1.2	0.2	0.0	0.2
SDDSC096	145.84	147.00	1.2	0.2	0.0	0.2
SDDSC096	153.79	154.54	0.8	0.1	0.0	0.1
SDDSC096	154.54	155.53	1.0	0.2	0.0	0.2
SDDSC096	208.45	208.77	0.3	0.0	0.1	0.1
SDDSC098	32.00	32.94	0.9	0.1	0.0	0.1
SDDSC098	62.94	63.40	0.5	0.5	0.0	0.5
SDDSC098	63.40	64.15	0.8	0.5	0.0	0.5
SDDSC098	98.28	98.74	0.5	2.5	0.1	2.7
SDDSC098	98.74	99.55	0.8	0.2	0.0	0.2
SDDSC098	99.55	100.15	0.6	0.9	0.0	0.9
SDDSC098	100.15	101.00	0.9	0.2	0.0	0.2
SDDSC098	103.28	103.80	0.5	0.1	0.0	0.1
SDDSC098	108.55	109.20	0.7	0.1	0.0	0.1
SDDSC098	112.95	113.80	0.9	0.2	0.0	0.2
SDDSC098	116.65	118.15	1.5	0.2	0.0	0.2
SDDSC098	119.43	120.02	0.6	0.3	0.0	0.3
SDDSC098	122.80	123.55	0.8	0.1	0.0	0.1
SDDSC098	123.55	124.45	0.9	0.2	0.0	0.2
SDDSC098	124.45	125.30	0.9	0.4	0.0	0.4
SDDSC098	125.30	125.65	0.4	1.0	0.1	1.1
SDDSC098	125.65	125.95	0.3	37.7	12.2	57.0
SDDSC098	125.95	126.45	0.5	0.7	0.0	0.7
SDDSC098	126.45	127.45	1.0	0.3	0.0	0.3
SDDSC098	127.80	128.25	0.5	0.5	0.1	0.7
SDDSC098	128.25	128.70	0.5	0.7	0.0	0.7
SDDSC098	128.70	129.70	1.0	0.1	0.0	0.1
SDDSC098	129.70	130.00	0.3	0.2	0.0	0.2
SDDSC098	131.00	131.75	0.8	0.2	0.0	0.2
SDDSC098	131.75	132.25	0.5	1.0	0.0	1.0
SDDSC098	132.25	132.80	0.6	0.5	0.0	0.5
SDDSC098	132.80	133.20	0.4	2.7	6.7	13.3
SDDSC098	133.20	133.90	0.7	7.3	0.8	8.5
SDDSC098	133.90	134.40	0.5	1.6	0.5	2.4

SDDSC098	134.40	134.89	0.5	2.6	1.7	5.3
SDDSC098	141.00	141.55	0.6	0.2	0.0	0.2
SDDSC098	141.55	142.35	0.8	0.2	0.0	0.2
SDDSC098	142.35	143.00	0.7	0.3	0.0	0.3
SDDSC098	143.00	143.55	0.6	0.5	0.0	0.5
SDDSC098	143.55	143.98	0.4	0.5	0.0	0.5
SDDSC098	143.98	144.57	0.6	0.7	0.0	0.8
SDDSC098	144.57	144.95	0.4	0.7	0.0	0.8
SDDSC098	144.95	145.90	1.0	0.4	0.0	0.4
SDDSC098	145.90	146.78	0.9	0.6	0.0	0.6
SDDSC098	146.78	147.10	0.3	0.3	0.0	0.3
SDDSC098	147.10	147.60	0.5	2.0	0.0	2.1
SDDSC098	147.60	148.00	0.4	5.2	1.1	7.0
SDDSC098	148.00	148.45	0.5	2.8	0.0	2.8
SDDSC098	148.45	148.75	0.3	4.7	16.4	30.6
SDDSC098	148.75	149.35	0.6	0.3	0.0	0.4
SDDSC098	149.35	149.72	0.4	0.6	0.0	0.6
SDDSC098	149.72	150.15	0.4	3.4	0.0	3.5
SDDSC098	150.15	150.45	0.3	0.5	0.0	0.6
SDDSC098	150.45	150.75	0.3	0.2	13.1	20.9
SDDSC098	150.75	151.07	0.3	1.4	0.0	1.5
SDDSC098	151.07	151.28	0.2	18.0	7.5	29.9
SDDSC098	151.28	152.10	0.8	0.1	0.0	0.1
SDDSC098	152.10	152.50	0.4	0.4	0.0	0.4
SDDSC098	152.50	152.92	0.4	1.4	0.1	1.5
SDDSC098	152.92	153.83	0.9	0.3	0.0	0.4
SDDSC098	153.83	154.28	0.5	0.3	0.9	1.6
SDDSC098	154.28	154.57	0.3	3.0	11.2	20.6
SDDSC098	154.57	155.23	0.7	0.9	0.1	1.0
SDDSC098	155.23	156.11	0.9	0.6	0.0	0.6
SDDSC098	156.11	156.89	0.8	0.1	0.0	0.1
SDDSC098	157.24	158.00	0.8	0.2	0.0	0.2
SDDSC098	158.00	159.00	1.0	0.2	0.0	0.3
SDDSC098	159.00	159.92	0.9	0.1	0.0	0.1
SDDSC098	159.92	160.15	0.2	0.1	0.0	0.2
SDDSC098	160.15	160.30	0.2	0.3	1.0	1.9
SDDSC098	160.30	161.23	0.9	0.3	0.0	0.4
SDDSC098	161.23	162.45	1.2	0.1	0.0	0.1
SDDSC098	162.45	162.72	0.3	0.2	2.5	4.1
SDDSC098	162.72	163.33	0.6	0.1	0.0	0.1
SDDSC098	163.96	164.15	0.2	0.1	1.4	2.3
SDDSC098	164.15	165.00	0.9	0.0	0.0	0.1
SDDSC098	166.05	166.20	0.2	96.0	24.9	135.3

SDDSC098	166.20	167.00	0.8	0.1	0.0	0.1
SDDSC098	167.00	168.00	1.0	0.0	0.0	0.1
SDDSC098	169.77	169.92	0.2	0.5	5.6	9.4
SDDSC098	170.57	171.47	0.9	0.1	0.0	0.1
SDDSC098	171.47	172.30	0.8	0.2	0.1	0.4
SDDSC098	172.30	172.49	0.2	0.9	0.9	2.3
SDDSC098	173.82	174.16	0.3	0.2	0.7	1.3
SDDSC098	174.16	174.55	0.4	0.5	0.0	0.5
SDDSC098	174.55	174.88	0.3	1.6	1.4	3.8
SDDSC098	174.88	175.27	0.4	0.2	0.0	0.2
SDDSC098	175.27	176.00	0.7	1.1	0.0	1.1
SDDSC098	176.00	176.56	0.6	0.1	0.0	0.1
SDDSC098	180.81	181.24	0.4	0.2	0.0	0.2
SDDSC098	184.00	184.90	0.9	0.1	0.0	0.1
SDDSC098	184.90	185.08	0.2	0.1	0.0	0.1
SDDSC098	185.84	186.37	0.5	0.1	0.0	0.1
SDDSC098	186.37	186.77	0.4	0.3	0.0	0.4
SDDSC098	187.29	188.00	0.7	20.1	0.0	20.2
SDDSC098	189.00	189.91	0.9	0.2	0.0	0.2
SDDSC098	189.91	190.38	0.5	0.3	0.0	0.3
SDDSC098	190.38	191.09	0.7	0.2	0.0	0.2
SDDSC098	191.09	191.83	0.7	0.3	0.0	0.4
SDDSC098	191.83	192.56	0.7	0.3	0.0	0.3
SDDSC098	192.56	193.37	0.8	0.3	0.1	0.4
SDDSC098	193.37	193.58	0.2	0.1	0.0	0.1
SDDSC098	193.58	194.36	0.8	0.4	0.1	0.6
SDDSC098	194.36	194.89	0.5	0.8	1.6	3.4
SDDSC098	194.89	195.75	0.9	0.1	0.0	0.1
SDDSC098	195.75	196.30	0.6	0.4	0.0	0.4
SDDSC098	196.30	196.76	0.5	0.1	0.0	0.1
SDDSC098	196.76	197.14	0.4	0.1	0.0	0.1
SDDSC098	197.14	197.57	0.4	0.3	0.0	0.3
SDDSC098	197.57	197.83	0.3	0.5	0.0	0.6
SDDSC098	197.83	198.44	0.6	0.1	0.0	0.1
SDDSC098	198.44	198.68	0.2	0.3	0.2	0.5
SDDSC098	199.31	200.10	0.8	0.1	0.0	0.1
SDDSC098	202.52	203.66	1.1	0.1	0.0	0.1
SDDSC098	203.66	204.23	0.6	0.1	0.0	0.1
SDDSC098	204.23	204.88	0.7	0.5	0.4	1.1
SDDSC098	204.88	205.32	0.4	0.1	1.6	2.7
SDDSC098	205.32	205.72	0.4	0.2	0.0	0.2
SDDSC098	205.72	206.25	0.5	0.1	0.0	0.1
SDDSC098	206.25	207.06	0.8	0.3	0.0	0.3

SDDSC098	207.06	207.77	0.7	0.8	0.7	1.9
SDDSC098	207.77	208.40	0.6	0.4	0.0	0.4
SDDSC098	208.40	209.09	0.7	0.2	0.0	0.2
SDDSC098	209.09	209.51	0.4	0.1	0.0	0.1
SDDSC098	209.51	210.02	0.5	0.6	0.0	0.6
SDDSC098	210.02	211.00	1.0	0.9	0.0	0.9
SDDSC098	211.00	211.50	0.5	3.4	0.1	3.5
SDDSC098	211.50	211.80	0.3	0.7	0.2	1.0
SDDSC098	211.80	212.80	1.0	1.0	0.1	1.1
SDDSC098	212.80	213.31	0.5	1.4	0.0	1.5
SDDSC098	213.31	213.86	0.6	1.0	0.1	1.1
SDDSC098	213.86	214.89	1.0	1.2	0.0	1.3
SDDSC098	215.90	216.51	0.6	1.8	0.0	1.8
SDDSC098	216.51	217.28	0.8	0.8	0.1	0.9
SDDSC098	217.28	217.84	0.6	0.8	0.1	0.9
SDDSC098	217.84	218.50	0.7	0.2	0.0	0.2
SDDSC098	218.50	218.93	0.4	0.1	0.0	0.1
SDDSC098	219.74	220.51	0.8	0.4	0.1	0.5
SDDSC098	220.51	221.05	0.5	0.4	0.1	0.5
SDDSC098	221.05	221.71	0.7	2.1	0.1	2.2
SDDSC098	221.71	223.00	1.3	0.1	0.0	0.1
SDDSC098	241.06	241.24	0.2	1.6	0.0	1.6
SDDSC098	241.78	242.55	0.8	1.8	0.0	1.8
SDDSC098	242.55	243.29	0.7	0.5	0.0	0.5
SDDSC098	243.29	243.60	0.3	0.1	0.0	0.2
SDDSC098	243.60	244.29	0.7	0.3	0.0	0.3
SDDSC098	244.77	245.60	0.8	0.1	0.0	0.1
SDDSC098	245.60	245.92	0.3	0.5	0.0	0.5
SDDSC098	245.92	246.25	0.3	2.6	0.0	2.6
SDDSC098	246.25	247.09	0.8	0.6	0.0	0.6
SDDSC098	247.09	247.60	0.5	2.3	0.0	2.3
SDDSC098	247.60	248.30	0.7	0.6	0.0	0.7
SDDSC098	248.30	249.00	0.7	0.8	0.0	0.8
SDDSC098	249.00	249.53	0.5	0.2	0.1	0.4
SDDSC098	249.53	250.50	1.0	0.6	0.0	0.6
SDDSC098	250.50	251.04	0.5	0.6	0.0	0.6
SDDSC098	253.35	254.31	1.0	0.2	0.0	0.2
SDDSC098	254.91	255.76	0.9	0.3	0.0	0.3
SDDSC098	255.76	256.43	0.7	0.2	0.0	0.2
SDDSC098	256.43	257.00	0.6	0.2	0.0	0.2
SDDSC098	257.00	257.36	0.4	0.3	0.0	0.4
SDDSC098	257.36	257.86	0.5	0.2	0.0	0.2
SDDSC098	257.86	258.48	0.6	0.0	0.0	0.1

SDDSC098	258.48	259.00	0.5	0.1	0.0	0.1
SDDSC098	259.89	260.10	0.2	0.3	3.7	6.1
SDDSC098	261.50	261.75	0.3	0.9	1.3	2.9
SDDSC098	261.75	262.78	1.0	0.1	0.0	0.1
SDDSC098	262.78	263.00	0.2	0.1	0.8	1.4
SDDSC098	263.00	263.65	0.7	0.1	0.0	0.1
SDDSC098	265.11	266.00	0.9	0.1	0.0	0.1
SDDSC098	266.85	267.25	0.4	0.2	0.0	0.2
SDDSC098	267.25	267.45	0.2	0.3	0.0	0.3
SDDSC099	104.82	105.19	0.4	0.1	0.0	0.1
SDDSC099	106.10	106.85	0.8	0.1	0.0	0.1
SDDSC099	108.00	109.00	1.0	0.1	0.0	0.1
SDDSC099	118.91	119.94	1.0	0.1	0.0	0.1
SDDSC099	119.94	120.65	0.7	0.2	0.0	0.3
SDDSC099	120.65	121.20	0.6	0.2	0.0	0.2
SDDSC099	121.20	121.67	0.5	0.2	0.0	0.2
SDDSC099	121.67	122.36	0.7	0.1	0.0	0.1
SDDSC099	122.87	123.56	0.7	0.6	0.0	0.6
SDDSC099	123.56	124.05	0.5	0.5	0.0	0.5
SDDSC099	124.05	124.77	0.7	0.2	0.0	0.2
SDDSC099	124.77	125.52	0.8	0.1	0.0	0.1
SDDSC099	125.52	126.63	1.1	0.0	0.0	0.1
SDDSC099	129.67	130.66	1.0	0.0	0.0	0.1
SDDSC099	130.66	131.25	0.6	0.0	0.0	0.1
SDDSC099	133.80	134.10	0.3	0.1	0.0	0.1
SDDSC099	139.35	140.04	0.7	0.1	0.0	0.1
SDDSC099	140.50	140.73	0.2	0.1	0.0	0.1
SDDSC099	140.73	141.55	0.8	12.5	0.0	12.5
SDDSC099	142.00	142.60	0.6	0.1	0.0	0.1
SDDSC099	144.00	144.60	0.6	0.3	0.0	0.3
SDDSC099	145.40	146.32	0.9	0.2	0.0	0.2
SDDSC099	146.32	147.20	0.9	0.1	0.0	0.1
SDDSC100	365.00	366.00	1.0	0.1	0.0	0.1
SDDSC100	366.00	367.00	1.0	0.1	0.0	0.1
SDDSC100	369.00	370.00	1.0	0.2	0.0	0.2
SDDSC100	371.00	372.00	1.0	0.3	0.0	0.3
SDDSC100	372.00	373.00	1.0	0.1	0.0	0.1
SDDSC100	376.00	377.00	1.0	0.1	0.0	0.1
SDDSC100	377.00	378.00	1.0	0.1	0.0	0.1
SDDSC100	378.00	379.00	1.0	0.1	0.0	0.1
SDDSC100	383.00	384.00	1.0	0.1	0.0	0.1
SDDSC100	388.00	389.00	1.0	0.4	0.0	0.4
SDDSC100	389.00	390.00	1.0	0.1	0.0	0.1

SDDSC100	390.00	391.00	1.0	4.9	1.1	6.7
SDDSC100	391.00	392.00	1.0	0.1	0.0	0.1
SDDSC100	392.00	393.00	1.0	0.1	0.0	0.1
SDDSC100	393.00	394.00	1.0	0.1	0.0	0.1
SDDSC100	394.00	395.00	1.0	0.1	0.0	0.1
SDDSC100	397.00	398.00	1.0	0.1	0.0	0.1
SDDSC100	398.00	399.00	1.0	0.2	0.0	0.2
SDDSC100	399.00	400.00	1.0	0.1	0.0	0.1
SDDSC100	444.00	445.00	1.0	0.6	0.1	0.8
SDDSC100	447.00	448.00	1.0	2.6	0.0	2.6
SDDSC100	448.00	449.00	1.0	0.2	0.0	0.2
SDDSC100	449.00	450.00	1.0	0.3	0.1	0.4
SDDSC100	450.00	451.00	1.0	0.2	0.0	0.3
SDDSC100	451.00	452.00	1.0	0.2	0.0	0.2
SDDSC100	452.00	453.00	1.0	0.3	0.1	0.4
SDDSC100	453.00	454.00	1.0	8.7	0.8	9.9
SDDSC100	454.00	454.75	0.8	0.3	0.0	0.3
SDDSC100	454.75	455.00	0.3	25.8	5.3	34.1
SDDSC100	455.00	456.00	1.0	0.5	0.1	0.6
SDDSC100	456.00	457.00	1.0	0.2	0.0	0.3
SDDSC100	457.00	458.00	1.0	0.5	0.1	0.6
SDDSC100	461.00	462.00	1.0	0.1	0.0	0.1
SDDSC100	463.00	464.00	1.0	0.1	0.0	0.1
SDDSC100	464.00	465.00	1.0	0.1	0.0	0.1
SDDSC100	465.00	465.80	0.8	0.4	0.1	0.5
SDDSC100	465.80	466.40	0.6	0.2	0.0	0.2
SDDSC100	468.20	468.95	0.8	0.1	0.0	0.1
SDDSC100	468.95	469.50	0.6	1.4	0.0	1.5
SDDSC100	469.50	469.70	0.2	29.8	10.9	47.0
SDDSC100	469.70	470.05	0.4	20.6	1.0	22.1
SDDSC100	470.05	470.65	0.6	22.7	0.3	23.2
SDDSC100	470.65	470.90	0.3	20.6	2.6	24.6
SDDSC100	470.90	471.80	0.9	0.4	0.0	0.4
SDDSC100	471.80	473.00	1.2	0.2	0.0	0.2
SDDSC100	481.00	481.30	0.3	0.6	0.1	0.7
SDDSC100	486.40	487.40	1.0	0.2	0.0	0.2
SDDSC100	487.40	487.60	0.2	9.8	13.3	30.8
SDDSC100	487.60	488.40	0.8	0.6	0.1	0.7
SDDSC100	488.40	489.25	0.9	0.3	0.1	0.5
SDDSC100	489.25	489.45	0.2	62.9	36.6	120.7
SDDSC100	489.45	490.00	0.6	0.3	0.1	0.4
SDDSC100	490.00	491.00	1.0	0.1	0.0	0.1
SDDSC100	491.00	492.00	1.0	0.1	0.0	0.1

SDDSC100	492.00	493.00	1.0	0.2	0.0	0.3
SDDSC100	493.00	494.00	1.0	0.2	0.0	0.2
SDDSC100	494.00	495.00	1.0	0.4	0.0	0.4
SDDSC100	495.00	496.00	1.0	0.1	0.0	0.1
SDDSC100	496.00	497.00	1.0	0.1	0.0	0.1
SDDSC100	505.10	506.00	0.9	0.1	0.0	0.1
SDDSC100	506.00	506.80	0.8	0.1	0.0	0.2
SDDSC100	506.80	507.30	0.5	0.1	0.0	0.1
SDDSC100	507.30	507.55	0.3	0.6	0.0	0.6
SDDSC100	507.55	508.10	0.6	51.5	0.0	51.5
SDDSC100	508.10	509.00	0.9	1.6	0.3	2.1
SDDSC100	509.00	510.00	1.0	0.4	0.0	0.4
SDDSC100	513.00	514.00	1.0	0.1	0.0	0.2
SDDSC100	514.00	515.00	1.0	0.5	0.0	0.5
SDDSC100	515.00	516.00	1.0	0.1	0.0	0.1
SDDSC100	516.00	517.00	1.0	0.4	0.1	0.6
SDDSC100	517.00	518.00	1.0	0.3	0.0	0.4
SDDSC100	518.00	519.00	1.0	0.1	0.5	0.9
SDDSC100	519.00	520.00	1.0	0.4	0.5	1.2
SDDSC100	520.00	521.00	1.0	0.8	0.8	2.0
SDDSC100	521.00	522.00	1.0	0.1	0.0	0.1
SDDSC100	522.00	523.00	1.0	0.0	0.0	0.1
SDDSC100	523.00	524.00	1.0	0.1	0.0	0.1
SDDSC100	524.00	525.00	1.0	0.4	0.0	0.4
SDDSC100	526.00	527.00	1.0	0.4	0.0	0.4
SDDSC100	532.00	533.00	1.0	0.0	0.0	0.1
SDDSC100	533.00	534.00	1.0	0.0	0.0	0.1
SDDSC100	534.00	534.50	0.5	1.5	0.0	1.5
SDDSC100	534.50	535.60	1.1	0.3	0.0	0.3
SDDSC100	535.60	536.70	1.1	0.4	0.2	0.7
SDDSC100	538.90	540.00	1.1	0.1	0.0	0.1
SDDSC100	540.00	541.00	1.0	0.1	0.0	0.1
SDDSC100	546.00	547.00	1.0	0.4	0.1	0.6
SDDSC100	547.00	548.00	1.0	0.1	0.0	0.1
SDDSC100	549.00	550.00	1.0	0.1	0.1	0.3
SDDSC100	553.00	554.00	1.0	0.1	0.0	0.1
SDDSC100	557.00	558.00	1.0	0.3	0.0	0.3
SDDSC100	558.00	559.00	1.0	0.2	0.0	0.2
SDDSC100	563.00	564.00	1.0	0.1	0.0	0.1
SDDSC100	564.00	565.00	1.0	0.9	0.0	0.9
SDDSC100	565.00	566.00	1.0	0.1	0.0	0.1
SDDSC100	566.00	567.00	1.0	0.3	0.0	0.3
SDDSC100	588.75	589.75	1.0	0.1	0.0	0.1

SDDSC100	590.35	590.65	0.3	0.5	0.1	0.6
SDDSC100	590.65	591.65	1.0	0.1	0.0	0.1
SDDSC100	591.65	592.20	0.6	0.1	0.0	0.1
SDDSC100	592.20	593.21	1.0	0.1	0.0	0.2
SDDSC100	593.21	593.55	0.3	0.6	0.6	1.6
SDDSC100	593.55	594.10	0.6	0.4	0.4	1.1
SDDSC100	594.10	594.40	0.3	0.2	0.5	1.0
SDDSC100	594.40	594.90	0.5	0.6	0.7	1.8
SDDSC100	594.90	595.40	0.5	0.2	0.0	0.2
SDDSC100	595.40	595.95	0.6	0.2	0.0	0.2
SDDSC100	595.95	596.95	1.0	0.1	0.0	0.1
SDDSC100	597.95	598.10	0.2	0.6	0.0	0.6
SDDSC100	598.10	599.55	1.5	0.3	0.0	0.3
SDDSC100	599.55	600.16	0.6	0.1	0.0	0.1
SDDSC100	600.16	600.60	0.4	0.0	0.0	0.1
SDDSC100	609.00	610.18	1.2	0.6	0.0	0.6
SDDSC100	610.18	610.65	0.5	0.4	0.0	0.4
SDDSC100	611.65	612.85	1.2	0.4	0.0	0.4
SDDSC100	612.85	613.85	1.0	0.1	0.0	0.1
SDDSC100	613.85	615.20	1.4	0.2	0.0	0.2
SDDSC100	615.20	616.30	1.1	0.1	0.0	0.1
SDDSC100	617.10	617.95	0.9	0.3	0.0	0.3
SDDSC100	617.95	618.85	0.9	0.2	0.0	0.2
SDDSC100	618.85	619.85	1.0	0.1	0.0	0.1
SDDSC100	626.00	626.80	0.8	0.1	0.0	0.1
SDDSC100	626.80	627.10	0.3	5.2	0.5	5.9
SDDSC100	628.10	628.62	0.5	0.4	0.1	0.5
SDDSC100	628.62	629.60	1.0	0.2	0.1	0.3
SDDSC100	633.15	633.45	0.3	0.1	0.0	0.1
SDDSC100	633.45	634.15	0.7	0.2	0.0	0.2
SDDSC100	634.15	634.45	0.3	0.2	0.0	0.2
SDDSC100	634.45	634.90	0.5	1.0	0.1	1.1
SDDSC100	634.90	635.60	0.7	0.1	0.0	0.1
SDDSC100	635.60	635.90	0.3	0.1	0.3	0.6
SDDSC100	635.90	636.90	1.0	0.6	0.0	0.6
SDDSC100	636.90	637.20	0.3	0.3	0.0	0.3
SDDSC100	637.95	638.50	0.6	0.1	0.0	0.1
SDDSC100	639.90	640.90	1.0	0.1	0.0	0.1
SDDSC100	641.90	642.65	0.8	0.1	0.0	0.1
SDDSC100	642.65	643.20	0.6	0.6	0.0	0.6
SDDSC100	643.20	643.55	0.4	0.3	0.0	0.3
SDDSC100	643.55	643.95	0.4	1.7	0.0	1.7
SDDSC100	643.95	644.40	0.5	3.5	0.1	3.6

SDDSC100	644.40	644.90	0.5	0.1	0.0	0.1
SDDSC100	644.90	645.30	0.4	0.3	0.1	0.4
SDDSC100	645.30	646.10	0.8	0.1	0.0	0.1
SDDSC100	648.05	648.10	0.1	0.1	0.0	0.1
SDDSC100	652.16	652.50	0.3	1.0	0.0	1.0
SDDSC100	652.50	652.60	0.1	0.1	0.0	0.1
SDDSC100	652.60	653.25	0.7	0.5	0.1	0.6
SDDSC100	653.25	654.10	0.9	0.8	0.4	1.3
SDDSC100	654.10	654.55	0.5	0.3	0.0	0.4
SDDSC100	654.55	655.15	0.6	0.4	0.1	0.5
SDDSC100	655.15	656.00	0.9	0.1	0.0	0.1
SDDSC100	656.00	656.38	0.4	1.1	0.8	2.4
SDDSC100	656.38	656.76	0.4	0.5	0.1	0.7
SDDSC100	656.76	657.30	0.5	0.8	0.1	0.9
SDDSC100	657.30	657.95	0.7	0.0	0.0	0.1
SDDSC100	657.95	658.46	0.5	1.4	0.9	2.9
SDDSC100	659.35	660.25	0.9	0.2	0.0	0.2
SDDSC100	661.20	662.17	1.0	0.1	0.0	0.1
SDDSC100	663.07	663.68	0.6	0.0	0.0	0.1
SDDSC100	663.68	664.52	0.8	0.1	0.0	0.1
SDDSC100	665.05	665.30	0.3	0.3	0.0	0.4
SDDSC100	665.30	666.30	1.0	0.2	0.0	0.2
SDDSC100	667.30	667.52	0.2	0.2	0.1	0.3
SDDSC100	674.20	674.40	0.2	4.6	0.4	5.2
SDDSC100	674.40	674.82	0.4	0.4	1.4	2.5
SDDSC100	674.82	675.11	0.3	0.1	0.1	0.2
SDDSC100	675.11	675.34	0.2	0.4	1.1	2.2
SDDSC100	675.34	675.66	0.3	0.5	1.5	2.9
SDDSC100	675.66	676.00	0.3	1.3	1.9	4.3
SDDSC100	676.00	676.28	0.3	4.0	0.8	5.3
SDDSC100	676.28	676.95	0.7	0.4	0.3	0.9
SDDSC100	676.95	677.12	0.2	0.4	0.9	1.8
SDDSC100	678.88	679.09	0.2	0.6	0.4	1.2
SDDSC100	680.00	681.00	1.0	0.1	0.0	0.1
SDDSC100	682.00	682.97	1.0	0.0	0.0	0.1
SDDSC100	682.97	683.35	0.4	0.2	0.0	0.2
SDDSC100	683.35	683.70	0.4	1.7	0.3	2.2
SDDSC100	712.94	713.88	0.9	0.1	0.0	0.1
SDDSC100	713.88	714.78	0.9	0.1	0.0	0.1
SDDSC100	714.78	715.80	1.0	0.1	0.0	0.1
SDDSC100	715.80	716.25	0.5	0.6	0.0	0.7
SDDSC100	716.25	716.88	0.6	0.1	0.1	0.2
SDDSC100	716.88	717.76	0.9	0.1	0.0	0.1

SDDSC100	717.76	718.65	0.9	0.1	0.1	0.2
SDDSC100	718.65	718.84	0.2	0.0	0.1	0.1
SDDSC100	720.28	720.60	0.3	0.1	0.0	0.1
SDDSC100	721.40	722.14	0.7	0.1	0.0	0.1
SDDSC100	723.55	724.00	0.5	7.5	0.1	7.7
SDDSC100	724.00	724.23	0.2	0.1	0.3	0.6
SDDSC100	724.83	725.75	0.9	0.0	0.0	0.1
SDDSC100	727.78	728.05	0.3	0.4	0.2	0.7
SDDSC100	729.05	729.70	0.7	0.7	0.1	0.8
SDDSC100	729.70	730.06	0.4	0.0	0.0	0.1
SDDSC100	730.06	730.39	0.3	0.3	1.1	1.9
SDDSC100	730.39	731.00	0.6	0.0	0.2	0.3
SDDSC100	732.00	732.22	0.2	0.2	1.1	1.9
SDDSC100	737.00	737.32	0.3	0.3	0.2	0.6
SDDSC100	737.32	737.59	0.3	0.3	0.6	1.3
SDDSC100	738.27	739.00	0.7	0.1	0.0	0.2
SDDSC100	739.00	739.44	0.4	0.4	0.1	0.6
SDDSC100	739.44	739.80	0.4	50.7	2.6	54.8
SDDSC100	739.80	740.63	0.8	0.4	0.0	0.4
SDDSC100	740.63	741.11	0.5	0.1	0.0	0.2
SDDSC100	741.11	741.70	0.6	4.2	0.1	4.3
SDDSC100	745.64	746.40	0.8	0.1	0.0	0.1
SDDSC100	746.40	747.50	1.1	0.0	0.0	0.1
SDDSC100	749.50	749.80	0.3	0.2	0.0	0.2
SDDSC100	752.00	753.00	1.0	0.0	0.0	0.1
SDDSC100	754.00	755.00	1.0	0.0	0.1	0.1
SDDSC100	755.00	756.00	1.0	0.1	0.0	0.1
SDDSC100	757.00	758.00	1.0	0.0	0.0	0.1
SDDSC100	760.00	761.00	1.0	0.1	0.0	0.1
SDDSC100	764.00	765.00	1.0	0.1	0.0	0.1
SDDSC100	767.00	768.00	1.0	0.0	0.0	0.1
SDDSC100	768.00	769.00	1.0	0.0	0.1	0.1
SDDSC100	769.00	770.00	1.0	0.1	0.1	0.2
SDDSC100	770.00	771.00	1.0	0.1	0.1	0.1
SDDSC100	771.00	772.00	1.0	0.1	0.1	0.2
SDDSC100	772.00	772.90	0.9	0.1	0.4	0.7
SDDSC100	772.90	774.00	1.1	0.1	0.1	0.1
SDDSC100	774.00	775.00	1.0	0.1	0.0	0.1
SDDSC100	775.00	776.00	1.0	0.1	0.0	0.1
SDDSC100	776.00	777.00	1.0	0.1	0.2	0.4
SDDSC100	777.00	778.00	1.0	0.3	0.2	0.6
SDDSC100	778.00	779.00	1.0	0.1	0.0	0.1
SDDSC100	779.00	780.00	1.0	6.8	0.0	6.8

SDDSC100	780.00	781.00	1.0	0.2	0.2	0.5
SDDSC100	781.00	782.00	1.0	1.1	0.1	1.2
SDDSC100	782.00	783.00	1.0	1.1	0.2	1.4
SDDSC100	783.00	784.00	1.0	0.8	0.0	0.9
SDDSC100	784.00	785.00	1.0	0.7	0.0	0.7
SDDSC100	785.00	786.00	1.0	0.9	0.0	0.9
SDDSC100	786.00	787.00	1.0	0.5	0.0	0.6
SDDSC100	787.00	788.00	1.0	0.6	0.0	0.6
SDDSC100	788.00	789.00	1.0	1.0	0.0	1.0
SDDSC100	789.00	790.00	1.0	0.7	0.0	0.7
SDDSC100	790.00	791.00	1.0	1.1	0.0	1.1
SDDSC100	791.00	792.10	1.1	0.8	0.0	0.8
SDDSC100	792.10	793.00	0.9	0.1	0.0	0.1
SDDSC100	796.00	797.00	1.0	0.2	0.0	0.2
SDDSC100	798.00	799.10	1.1	0.1	0.0	0.1
SDDSC100	799.10	800.00	0.9	0.1	0.0	0.1
SDDSC100	800.00	801.00	1.0	0.2	0.0	0.2
SDDSC100	803.00	804.00	1.0	0.1	0.0	0.1
SDDSC100	805.00	806.00	1.0	0.3	0.0	0.3
SDDSC100	806.00	807.00	1.0	0.3	0.0	0.3
SDDSC100	807.00	808.00	1.0	0.6	0.0	0.6
SDDSC100	808.00	809.00	1.0	0.2	0.0	0.2
SDDSC100	809.00	810.00	1.0	0.3	0.0	0.3
SDDSC100	817.24	817.45	0.2	0.5	0.0	0.6
SDDSC100	817.45	818.00	0.6	0.2	0.0	0.2
SDDSC100	818.34	818.64	0.3	0.1	0.0	0.1
SDDSC100	818.64	819.10	0.5	0.3	0.0	0.3
SDDSC100	819.10	819.40	0.3	1.6	0.0	1.6
SDDSC100	819.40	819.80	0.4	0.3	0.0	0.3
SDDSC100	819.80	820.50	0.7	0.2	0.0	0.2
SDDSC100	820.50	821.35	0.9	0.1	0.0	0.1
SDDSC100	821.35	822.35	1.0	0.1	0.0	0.1
SDDSC100	822.35	823.25	0.9	0.2	0.0	0.2
SDDSC100	823.25	824.40	1.2	0.1	0.0	0.1
SDDSC100	824.40	825.35	1.0	0.2	0.0	0.2
SDDSC100	825.35	825.80	0.5	0.4	0.0	0.5
SDDSC100	825.80	826.15	0.4	0.2	0.1	0.4
SDDSC100	826.45	826.90	0.5	0.1	0.0	0.2
SDDSC100	827.90	828.50	0.6	0.1	0.0	0.2
SDDSC100	829.35	829.65	0.3	0.2	0.0	0.2
SDDSC100	829.65	829.95	0.3	0.1	0.0	0.1
SDDSC100	829.95	830.50	0.6	3.0	0.0	3.0
SDDSC100	830.99	831.91	0.9	0.3	0.0	0.3

SDDSC100	831.91	832.80	0.9	0.1	0.0	0.1
SDDSC100	847.65	848.60	1.0	0.1	0.0	0.1
SDDSC100	848.60	849.60	1.0	0.2	0.0	0.2
SDDSC100	849.60	850.00	0.4	1.0	0.0	1.0
SDDSC100	850.00	850.30	0.3	0.1	0.0	0.1
SDDSC100	850.30	850.95	0.7	10.4	0.0	10.4
SDDSC100	850.95	852.00	1.1	0.1	0.0	0.1
SDDSC100	852.00	853.20	1.2	8.4	0.0	8.4
SDDSC100	853.20	853.60	0.4	0.2	0.0	0.2
SDDSC100	853.60	854.50	0.9	0.1	0.0	0.2
SDDSC100	855.50	856.00	0.5	0.1	0.0	0.1
SDDSC100	858.00	859.00	1.0	0.1	0.0	0.1
SDDSC100	859.00	859.30	0.3	1.1	0.0	1.1
SDDSC100	859.30	860.10	0.8	0.9	0.0	0.9
SDDSC100	860.10	860.85	0.8	0.2	0.0	0.2
SDDSC100	860.85	861.80	1.0	0.2	0.0	0.2
SDDSC100	861.80	863.00	1.2	0.2	0.0	0.2
SDDSC100	863.00	863.60	0.6	0.3	0.0	0.3
SDDSC100	864.30	865.00	0.7	0.2	0.0	0.2
SDDSC100	865.00	865.40	0.4	0.2	0.0	0.2
SDDSC100	865.70	866.40	0.7	0.2	0.0	0.2
SDDSC100	866.40	867.00	0.6	0.4	0.0	0.4
SDDSC100	867.00	867.52	0.5	0.1	0.0	0.1
SDDSC100	868.50	869.20	0.7	0.1	0.0	0.1
SDDSC100	869.20	869.95	0.8	1.0	0.0	1.0
SDDSC100	869.95	870.30	0.4	0.1	0.0	0.1
SDDSC100	870.30	870.67	0.4	0.3	0.0	0.3
SDDSC100	870.67	871.40	0.7	0.1	0.0	0.1
SDDSC100	872.85	873.85	1.0	0.2	0.0	0.2
SDDSC100	873.85	874.50	0.7	0.7	0.0	0.7
SDDSC100	874.50	875.15	0.7	0.1	0.0	0.1
SDDSC100	878.45	879.55	1.1	0.1	0.0	0.1
SDDSC100	879.55	879.95	0.4	0.1	0.0	0.1
SDDSC100	879.95	880.90	1.0	0.2	0.0	0.2
SDDSC100	880.90	881.50	0.6	0.4	0.0	0.4
SDDSC100	881.50	882.45	1.0	0.1	0.0	0.1
SDDSC100	882.45	883.75	1.3	0.4	0.0	0.4
SDDSC100	884.70	885.30	0.6	0.7	0.0	0.7
SDDSC100	890.00	890.50	0.5	0.1	0.0	0.1
SDDSC100	890.50	890.75	0.3	0.3	0.0	0.3
SDDSC100	890.75	891.60	0.9	0.3	0.0	0.3
SDDSC100	891.60	891.94	0.3	45.2	0.0	45.2
SDDSC100	893.00	894.00	1.0	0.1	0.0	0.1

SDDSC100	894.00	894.86	0.9	0.1	0.0	0.1
SDDSC100	894.86	895.25	0.4	0.3	0.0	0.3
SDDSC100	895.25	895.60	0.4	0.5	0.0	0.5
SDDSC100	896.43	896.77	0.3	0.9	0.0	0.9
SDDSC100	896.77	897.55	0.8	0.1	0.0	0.1
SDDSC100	897.55	897.90	0.4	0.1	0.0	0.1
SDDSC100	899.00	899.93	0.9	0.1	0.0	0.1
SDDSC100	899.93	900.40	0.5	0.1	0.0	0.1
SDDSC100	900.40	900.88	0.5	0.2	0.0	0.2
SDDSC100	900.88	902.00	1.1	0.3	0.0	0.3
SDDSC100	911.00	911.42	0.4	1.2	0.0	1.2
SDDSC100	911.42	911.88	0.5	6.5	0.0	6.5
SDDSC100	911.88	912.17	0.3	1.3	0.0	1.3
SDDSC100	912.17	912.45	0.3	2.8	0.0	2.9
SDDSC100	912.45	913.09	0.6	0.6	0.0	0.6
SDDSC100	913.09	914.00	0.9	0.2	0.0	0.2
SDDSC100	914.00	915.00	1.0	1.8	0.0	1.8
SDDSC100	917.00	918.00	1.0	0.3	0.0	0.3
SDDSC100	922.00	923.10	1.1	0.1	0.0	0.1
SDDSC100	942.00	942.58	0.6	0.1	0.0	0.1
SDDSC100	948.62	949.22	0.6	0.1	0.0	0.1
SDDSC100	955.35	955.91	0.6	0.5	0.0	0.5
SDDSC100	955.91	956.37	0.5	0.9	0.0	0.9
SDDSC100	956.37	957.00	0.6	0.1	0.0	0.1
SDDSC100	1032.00	1033.00	1.0	0.1	0.0	0.1
SDDSC100	1033.00	1034.00	1.0	0.2	0.0	0.2
SDDSC102	346.00	346.32	0.3	0.1	0.0	0.1
SDDSC102	347.91	348.08	0.2	0.3	0.2	0.7
SDDSC102	348.69	349.00	0.3	0.4	0.1	0.5
SDDSC102	349.72	350.13	0.4	0.1	0.0	0.1
SDDSC102	352.65	352.88	0.2	0.3	0.1	0.5
SDDSC102	352.88	353.84	1.0	0.1	0.0	0.1
SDDSC102	354.27	354.66	0.4	0.2	0.3	0.6
SDDSC102	354.66	355.10	0.4	0.4	0.0	0.5
SDDSC102	355.10	356.00	0.9	0.2	0.0	0.2
SDDSC102	362.94	363.15	0.2	0.4	0.2	0.7
SDDSC102	363.15	363.71	0.6	0.2	0.0	0.2
SDDSC102	364.48	364.90	0.4	0.5	0.3	1.0
SDDSC102	364.90	365.60	0.7	0.1	0.0	0.1
SDDSC102	365.60	366.05	0.5	0.9	0.3	1.4
SDDSC102	366.05	366.84	0.8	0.0	0.0	0.1
SDDSC102	372.79	373.43	0.6	0.0	0.0	0.1
SDDSC102	373.43	373.66	0.2	1.0	0.5	1.8

SDDSC102	373.66	374.24	0.6	0.0	0.0	0.1
SDDSC102	374.24	374.82	0.6	0.3	0.0	0.3
SDDSC102	375.55	376.23	0.7	0.4	0.1	0.5
SDDSC102	376.23	376.96	0.7	0.1	0.0	0.1
SDDSC102	378.00	378.63	0.6	0.1	0.0	0.1
SDDSC102	378.63	378.86	0.2	0.6	0.5	1.5
SDDSC102	378.86	379.81	1.0	0.1	0.0	0.1
SDDSC102	381.48	382.02	0.5	0.3	0.0	0.3
SDDSC102	383.37	383.53	0.2	0.5	0.1	0.6
SDDSC102	384.32	384.71	0.4	0.2	0.3	0.7
SDDSC102	384.71	385.26	0.6	0.0	0.0	0.1
SDDSC102	386.78	387.30	0.5	0.2	0.0	0.3
SDDSC102	387.30	387.49	0.2	0.6	1.9	3.5
SDDSC102	387.49	388.17	0.7	0.1	0.0	0.1
SDDSC102	390.00	390.21	0.2	1.1	7.7	13.2
SDDSC102	390.21	391.00	0.8	0.1	0.0	0.1
SDDSC102	391.81	392.12	0.3	0.9	2.0	4.1
SDDSC102	392.12	392.42	0.3	0.8	1.0	2.4
SDDSC102	393.11	393.26	0.2	1.6	1.2	3.5
SDDSC102	393.26	393.96	0.7	0.2	0.1	0.3
SDDSC102	395.00	395.30	0.3	0.3	0.3	0.7
SDDSC102	411.50	412.50	1.0	0.1	0.0	0.1
SDDSC102	412.50	413.60	1.1	0.3	0.0	0.3
SDDSC102	413.60	414.70	1.1	0.2	0.0	0.2
SDDSC102	414.70	415.70	1.0	0.3	0.0	0.3
SDDSC102	415.70	416.50	0.8	0.1	0.0	0.1
SDDSC102	416.50	417.30	0.8	0.1	0.0	0.1
SDDSC102	417.30	418.25	1.0	0.0	0.0	0.1
SDDSC102	418.25	419.25	1.0	0.4	0.0	0.4
SDDSC102	419.25	419.80	0.6	15.3	0.0	15.4
SDDSC102	419.80	420.70	0.9	0.7	0.1	0.7
SDDSC102	420.70	421.30	0.6	1.2	0.0	1.2
SDDSC102	422.25	422.85	0.6	0.8	0.3	1.3
SDDSC102	422.85	423.80	1.0	0.5	0.1	0.6
SDDSC102	423.80	424.49	0.7	0.2	0.0	0.2
SDDSC102	424.49	424.89	0.4	0.7	0.3	1.1
SDDSC102	427.15	428.00	0.9	0.3	0.0	0.3
SDDSC102	441.07	441.51	0.4	0.1	0.0	0.1
SDDSC102	457.00	457.75	0.8	0.2	0.0	0.2
SDDSC102	457.75	458.00	0.3	1.6	0.0	1.6
SDDSC102	458.00	459.00	1.0	0.0	0.0	0.1
SDDSC102	474.00	475.00	1.0	0.4	0.0	0.4
SDDSC102	475.00	476.00	1.0	0.5	0.0	0.5

SDDSC102	476.00	477.00	1.0	0.5	0.0	0.5
SDDSC102	477.00	478.00	1.0	0.5	0.0	0.5
SDDSC102	478.00	478.40	0.4	0.2	0.0	0.2
SDDSC102	478.40	478.70	0.3	1.5	0.0	1.5
SDDSC102	478.70	479.65	1.0	1.2	0.0	1.2
SDDSC102	479.65	480.20	0.6	6.3	0.0	6.3
SDDSC102	480.20	481.00	0.8	0.8	0.3	1.4
SDDSC102	481.00	482.00	1.0	0.0	0.0	0.1
SDDSC102	482.00	483.00	1.0	0.8	0.1	0.9
SDDSC102	483.00	484.00	1.0	0.5	0.0	0.5
SDDSC102	484.00	485.00	1.0	0.5	0.0	0.5
SDDSC102	485.00	486.00	1.0	0.1	0.0	0.1
SDDSC102	486.00	487.00	1.0	0.4	0.0	0.4
SDDSC102	488.00	489.00	1.0	0.5	0.0	0.5
SDDSC102	489.00	490.10	1.1	0.1	0.0	0.1
SDDSC102	491.20	491.70	0.5	5.1	0.0	5.1
SDDSC102	491.70	492.30	0.6	0.1	0.0	0.1
SDDSC102	492.30	492.61	0.3	2.3	0.4	3.0
SDDSC102	493.59	494.54	1.0	0.1	0.0	0.1
SDDSC102	494.54	495.04	0.5	0.5	0.1	0.6
SDDSC102	495.04	495.23	0.2	16.6	1.0	18.1
SDDSC102	495.23	496.23	1.0	0.1	0.0	0.1
SDDSC102	497.23	497.80	0.6	0.3	0.0	0.3
SDDSC102	497.80	498.36	0.6	0.1	0.0	0.1
SDDSC102	498.36	498.65	0.3	0.2	0.0	0.2
SDDSC102	501.00	502.03	1.0	0.8	0.3	1.2
SDDSC102	552.10	552.70	0.6	0.4	0.0	0.4
SDDSC102	573.95	574.80	0.9	0.1	0.0	0.1
SDDSC102	574.80	575.80	1.0	0.1	0.0	0.1
SDDSC102	577.35	578.35	1.0	0.1	0.0	0.1
SDDSC102	578.35	579.15	0.8	0.1	0.0	0.1
SDDSC102	581.10	581.60	0.5	0.1	0.0	0.1
SDDSC102	581.60	582.80	1.2	0.1	0.0	0.1
SDDSC102	582.80	584.00	1.2	0.1	0.0	0.1
SDDSC102	584.00	584.78	0.8	0.1	0.0	0.1
SDDSC102	584.78	585.80	1.0	0.4	0.0	0.4
SDDSC103	198.28	198.77	0.5	0.1	0.0	0.1
SDDSC103	223.94	224.53	0.6	0.1	0.0	0.1
SDDSC103	225.44	225.74	0.3	0.1	0.0	0.1
SDDSC103	227.33	227.94	0.6	0.1	0.0	0.1
SDDSC103	258.00	258.93	0.9	0.0	0.0	0.1
SDDSC104	93.28	93.80	0.5	0.0	0.0	0.1
SDDSC104	110.32	110.92	0.6	0.1	0.0	0.1

SDDSC104	114.00	114.85	0.9	0.3	0.0	0.3
SDDSC104	118.00	119.10	1.1	0.1	0.0	0.1
SDDSC104	119.10	120.00	0.9	1.6	0.0	1.6
SDDSC104	120.00	121.00	1.0	0.1	0.0	0.1
SDDSC104	121.00	121.65	0.7	1.4	0.0	1.4
SDDSC104	121.65	121.94	0.3	1.0	0.0	1.0
SDDSC104	121.94	122.90	1.0	0.2	0.0	0.2
SDDSC104	127.00	127.60	0.6	0.1	0.0	0.1
SDDSC104	127.60	127.75	0.2	0.7	2.3	4.3
SDDSC104	128.70	129.60	0.9	0.9	0.0	0.9
SDDSC104	129.60	130.40	0.8	0.1	0.0	0.1
SDDSC104	132.00	133.00	1.0	0.1	0.0	0.1
SDDSC104	133.00	134.00	1.0	1.0	0.0	1.0
SDDSC104	134.00	134.27	0.3	0.8	0.0	0.9
SDDSC104	136.00	137.00	1.0	0.1	0.0	0.1
SDDSC104	137.70	138.40	0.7	0.2	0.0	0.2
SDDSC104	139.25	140.00	0.8	0.4	0.0	0.4
SDDSC104	140.00	141.00	1.0	2.1	0.0	2.1
SDDSC104	142.00	142.87	0.9	0.3	0.0	0.3
SDDSC104	142.87	143.15	0.3	1.7	0.0	1.7
SDDSC104	143.15	144.00	0.9	0.7	0.0	0.7
SDDSC104	144.00	144.60	0.6	5.9	0.0	5.9
SDDSC104	144.60	144.94	0.3	1.0	0.0	1.0
SDDSC104	149.00	150.00	1.0	0.2	0.0	0.2
SDDSC104	292.34	293.25	0.9	0.2	0.0	0.2
SDDSC104	430.00	430.90	0.9	0.1	0.0	0.1
SDDSC104	431.42	431.69	0.3	0.7	0.0	0.7
SDDSC104	431.69	432.27	0.6	1.2	0.0	1.3
SDDSC104	432.27	432.50	0.2	0.3	0.0	0.3
SDDSC104	432.50	432.90	0.4	0.2	0.0	0.2
SDDSC104	432.90	433.23	0.3	0.3	0.0	0.3
SDDSC104	433.23	433.70	0.5	0.5	0.5	1.3
SDDSC104	433.70	433.92	0.2	0.7	2.9	5.3
SDDSC104	433.92	434.19	0.3	0.8	1.1	2.5
SDDSC104	434.19	434.44	0.3	1.1	1.9	4.0
SDDSC104	434.44	435.12	0.7	2.3	1.2	4.2
SDDSC104	435.12	435.49	0.4	0.1	0.1	0.2
SDDSC104	436.11	436.34	0.2	0.2	0.0	0.2
SDDSC104	437.00	438.00	1.0	0.2	0.0	0.2
SDDSC104	438.00	438.27	0.3	0.8	0.1	1.0
SDDSC104	438.27	438.78	0.5	0.1	0.0	0.1
SDDSC104	438.78	439.58	0.8	0.1	0.0	0.1
SDDSC104	439.58	439.88	0.3	0.6	0.3	1.0

SDDSC104	439.88	440.42	0.5	0.7	0.3	1.2
SDDSC104	440.42	441.00	0.6	3.1	1.2	5.0
SDDSC104	441.00	441.27	0.3	4.1	0.4	4.7
SDDSC104	441.27	441.47	0.2	5.1	0.7	6.2
SDDSC104	441.47	441.69	0.2	2.3	0.1	2.5
SDDSC104	441.69	442.68	1.0	0.0	0.0	0.1
SDDSC104	442.68	443.02	0.3	13.3	11.7	31.8
SDDSC104	443.02	443.56	0.5	2.4	12.8	22.6
SDDSC104	443.56	443.79	0.2	15.0	1.4	17.2
SDDSC104	443.79	444.45	0.7	2.0	0.7	3.1
SDDSC104	444.45	444.61	0.2	2.6	0.6	3.5
SDDSC104	444.61	445.00	0.4	4.1	0.7	5.2
SDDSC104	445.00	445.26	0.3	6.6	0.3	7.0
SDDSC104	445.26	445.84	0.6	0.9	0.0	0.9
SDDSC104	445.84	446.27	0.4	0.7	0.0	0.7
SDDSC104	446.27	446.48	0.2	0.3	0.2	0.6
SDDSC104	446.48	447.04	0.6	0.5	0.2	0.7
SDDSC104	447.04	447.25	0.2	0.6	0.0	0.7
SDDSC104	447.25	447.58	0.3	0.4	0.0	0.4
SDDSC104	447.58	447.84	0.3	1.4	0.1	1.6
SDDSC104	447.84	448.06	0.2	0.6	0.1	0.7
SDDSC104	448.06	448.40	0.3	1.5	0.0	1.5
SDDSC104	448.40	449.16	0.8	1.5	0.1	1.6
SDDSC104	449.16	449.59	0.4	4.7	1.0	6.3
SDDSC104	449.59	450.26	0.7	1.8	0.1	2.0
SDDSC104	450.26	450.83	0.6	3.0	0.1	3.1
SDDSC104	450.83	451.33	0.5	0.7	0.2	1.1
SDDSC104	451.33	451.70	0.4	1.1	0.1	1.3
SDDSC104	451.70	452.96	1.3	0.5	0.0	0.5
SDDSC104	452.96	453.16	0.2	2.6	0.1	2.7
SDDSC104	453.16	453.73	0.6	0.7	0.0	0.7
SDDSC104	453.73	454.02	0.3	0.3	0.0	0.4
SDDSC104	454.02	454.67	0.7	1.1	0.4	1.7
SDDSC104	454.67	454.93	0.3	0.1	0.0	0.1
SDDSC104	454.93	455.36	0.4	20.6	4.2	27.2
SDDSC104	455.36	455.66	0.3	3.1	0.2	3.4
SDDSC104	455.66	456.17	0.5	0.2	0.0	0.2
SDDSC104	458.67	459.30	0.6	0.2	0.0	0.2
SDDSC104	459.30	459.58	0.3	0.2	0.1	0.3
SDDSC104	461.57	461.81	0.2	0.0	0.0	0.1
SDDSC104	461.81	461.98	0.2	0.2	0.2	0.6
SDDSC104	461.98	462.20	0.2	0.6	0.7	1.6
SDDSC104	462.20	462.87	0.7	0.0	0.0	0.1

SDDSC104	462.87	463.05	0.2	1.6	0.1	1.7
SDDSC104	463.05	463.40	0.4	0.0	0.0	0.1
SDDSC104	463.40	463.65	0.3	1.2	2.7	5.5
SDDSC104	463.65	464.08	0.4	0.1	0.1	0.1
SDDSC104	464.08	464.90	0.8	0.1	0.0	0.1
SDDSC104	464.90	465.15	0.3	0.8	0.4	1.4
SDDSC104	465.15	465.73	0.6	0.6	0.0	0.7
SDDSC104	466.63	466.91	0.3	27.7	0.5	28.5
SDDSC104	467.77	468.00	0.2	0.3	0.0	0.3
SDDSC104	468.32	468.65	0.3	0.2	0.0	0.3
SDDSC104	471.12	471.32	0.2	0.1	0.0	0.1
SDDSC104	471.32	471.62	0.3	12.3	0.0	12.3
SDDSC104	472.28	472.60	0.3	0.6	0.0	0.6
SDDSC104	472.60	472.79	0.2	0.2	0.1	0.3
SDDSC104	472.79	473.03	0.2	1.8	0.6	2.8
SDDSC104	473.03	473.41	0.4	0.1	0.1	0.3
SDDSC104	473.41	473.78	0.4	0.2	0.0	0.2
SDDSC104	473.78	474.14	0.4	0.1	0.0	0.1
SDDSC104	474.14	474.43	0.3	0.1	0.0	0.1
SDDSC104	476.46	477.23	0.8	0.2	0.0	0.2
SDDSC104	478.56	478.95	0.4	0.4	0.1	0.7
SDDSC104	478.95	479.87	0.9	0.1	0.0	0.1
SDDSC104	479.87	480.40	0.5	0.1	0.0	0.1
SDDSC104	480.40	481.20	0.8	0.1	0.0	0.2
SDDSC104	481.20	482.00	0.8	0.2	0.0	0.2
SDDSC104	482.77	483.20	0.4	0.2	0.1	0.3
SDDSC104	483.20	483.69	0.5	0.4	0.0	0.4
SDDSC104	483.69	484.27	0.6	0.5	0.0	0.5
SDDSC104	484.27	485.27	1.0	0.3	0.0	0.3
SDDSC104	486.07	486.44	0.4	13.8	0.2	14.1
SDDSC104	486.44	487.44	1.0	0.0	0.0	0.1
SDDSC104	487.44	488.17	0.7	0.3	0.0	0.3
SDDSC104	489.67	490.67	1.0	0.1	0.1	0.2
SDDSC104	490.67	491.25	0.6	0.6	0.8	1.7
SDDSC104	491.25	491.70	0.5	0.2	0.2	0.5
SDDSC104	491.70	492.56	0.9	0.5	0.1	0.7
SDDSC104	492.56	492.85	0.3	1.0	0.8	2.2
SDDSC104	492.85	493.58	0.7	0.9	0.6	1.9
SDDSC104	493.58	494.00	0.4	0.7	0.4	1.4
SDDSC104	494.00	494.60	0.6	0.2	0.0	0.2
SDDSC104	494.60	495.00	0.4	0.3	0.0	0.4
SDDSC104	495.00	495.25	0.3	0.8	0.1	0.9
SDDSC104	495.25	495.85	0.6	0.5	0.1	0.6

SDDSC104	495.85	496.55	0.7	1.2	0.2	1.5
SDDSC104	496.55	497.19	0.6	0.4	0.1	0.6
SDDSC104	497.19	497.62	0.4	0.3	0.0	0.4
SDDSC104	497.62	498.20	0.6	0.2	0.0	0.2
SDDSC104	498.20	499.07	0.9	0.4	0.0	0.4
SDDSC104	499.07	500.00	0.9	0.4	0.0	0.5
SDDSC104	500.00	500.45	0.5	0.4	0.0	0.5
SDDSC104	500.45	501.45	1.0	0.2	0.0	0.2
SDDSC104	501.45	501.84	0.4	0.6	0.0	0.7
SDDSC104	501.84	502.56	0.7	1.4	0.6	2.3
SDDSC104	502.56	503.00	0.4	0.5	0.0	0.5
SDDSC104	503.00	504.00	1.0	0.2	0.0	0.2
SDDSC104	506.00	507.00	1.0	0.1	0.0	0.1
SDDSC104	507.00	508.00	1.0	0.1	0.0	0.1
SDDSC104	508.00	509.00	1.0	0.1	0.0	0.1
SDDSC104	510.00	511.00	1.0	0.4	0.0	0.4
SDDSC104	511.00	512.00	1.0	0.4	0.0	0.4
SDDSC104	513.00	514.00	1.0	0.6	0.0	0.6
SDDSC104	514.00	515.00	1.0	0.3	0.0	0.4
SDDSC104	515.00	516.00	1.0	0.1	0.0	0.1
SDDSC104	516.00	517.00	1.0	0.1	0.0	0.1
SDDSC104	517.00	518.00	1.0	0.4	0.0	0.4
SDDSC104	518.00	519.00	1.0	0.2	0.0	0.2
SDDSC104	519.00	520.00	1.0	0.1	0.0	0.1
SDDSC104	520.00	521.00	1.0	0.1	0.0	0.1
SDDSC104	525.00	526.00	1.0	1.2	0.0	1.2
SDDSC104	526.00	526.35	0.4	3.3	0.0	3.3
SDDSC104	526.65	526.72	0.1	0.6	0.0	0.6
SDDSC104	526.72	527.10	0.4	1.2	0.0	1.2
SDDSC104	527.10	528.00	0.9	0.1	0.0	0.1
SDDSC104	529.00	530.00	1.0	1.0	0.0	1.1
SDDSC104	532.00	533.00	1.0	0.2	0.0	0.3
SDDSC104	533.00	534.00	1.0	0.7	0.0	0.7
SDDSC104	534.00	535.00	1.0	0.3	0.0	0.3
SDDSC104	535.00	536.00	1.0	0.5	0.0	0.5
SDDSC104	536.00	537.00	1.0	0.4	0.0	0.4
SDDSC104	537.00	537.73	0.7	0.7	0.0	0.7
SDDSC104	537.73	538.00	0.3	2.5	0.0	2.5
SDDSC104	538.00	538.66	0.7	1.8	0.0	1.8
SDDSC104	538.66	539.15	0.5	1.6	0.0	1.6
SDDSC104	539.15	540.00	0.9	0.2	0.0	0.3
SDDSC104	540.00	540.86	0.9	0.1	0.0	0.1
SDDSC104	548.00	549.00	1.0	0.0	0.0	0.1

SDDSC104	549.00	549.54	0.5	0.0	0.0	0.1
SDDSC104	549.54	549.78	0.2	0.1	0.0	0.1
SDDSC104	549.78	550.30	0.5	0.0	0.0	0.1
SDDSC104	550.30	551.00	0.7	0.1	0.0	0.1
SDDSC104	552.00	553.00	1.0	0.1	0.0	0.1
SDDSC104	553.00	554.00	1.0	0.2	0.0	0.2
SDDSC104	554.00	555.00	1.0	0.2	0.0	0.2
SDDSC104	555.00	556.00	1.0	0.1	0.0	0.1
SDDSC104	556.00	557.00	1.0	0.1	0.0	0.1
SDDSC104	557.00	558.00	1.0	0.1	0.0	0.1
SDDSC104	590.40	590.74	0.3	0.1	0.0	0.1
SDDSC104	590.74	591.35	0.6	0.2	0.0	0.2
SDDSC104	591.35	591.96	0.6	0.1	0.0	0.1